



Univerzitet u Beogradu – Građevinski fakultet

www.grf.bg.ac.rs

Studijski program: **Građevinarstvo**

Modul: **MTI, HVEI, PŽA**

Godina/Semestar: **III godina / V semestar**

Naziv predmeta (šifra): **Betonske konstrukcije 1**
(b2s3bk, b2h3bk, b2m3bk, b1s3bk)

Nastavnik: **Ivan Ignjatović**

Naslov predavanja: **Ramovske konstrukcije**

Datum : **02.12.2022.**

Beograd, 2020.

Sva autorska prava autora prezentacije i/ili video snimaka su zaštićena. Snimak ili prezentacija se mogu koristiti samo za nastavu na daljinu studenta Građevinskog fakulteta Univerziteta u Beogradu u školskoj 2020/2021 i ne mogu se koristiti za druge svrhe bez pismene saglasnosti autora materijala.

Sadržaj

- Uvod
- Osnove proračuna
- Osobine materijala
- ULS-Savijanje
- ULS-Smicanje
- ULS-Stabilnost
- SLS-Ugibi, prsline
- Monolitne, polumontažne i montažne međuspratne konstrukcije
- Ramovske konstrukcije
- Temelji i potporni zidovi
- Prethodno napregnuti beton



Ramovske konstrukcije

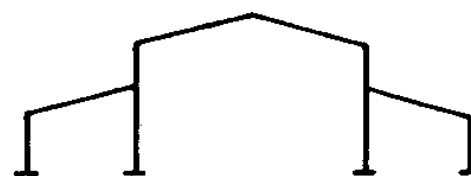
- 1.1. Podela
- 1.2. Statički sistemi i statički proračun
- 1.3. Proračun ramova za horizontalno opterećenje
- 1.4. Dimenzionisanje
- 1.5. Armiranje čvorova rama
- 1.6. Glavni nosači
- 1.7. Rožnjače
- 1.8. Objekti sa armiranobetonskim zidovima
- 1.9. Armiranobetonski zidni nosači
- 1.10. Lokalni naponi pritiska. Zglobovi
- 1.11. Kratki elementi

1.1. Podela

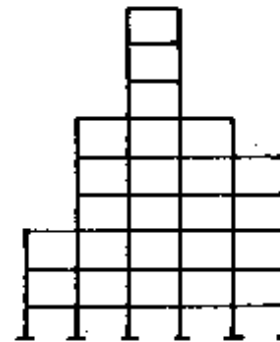
- Prost jednobrodni ram



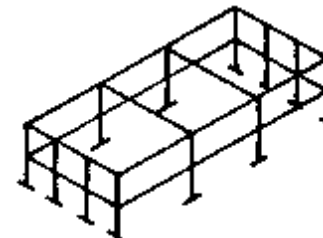
- Višebrodni ram



- Složen ram



- Prostorni ram

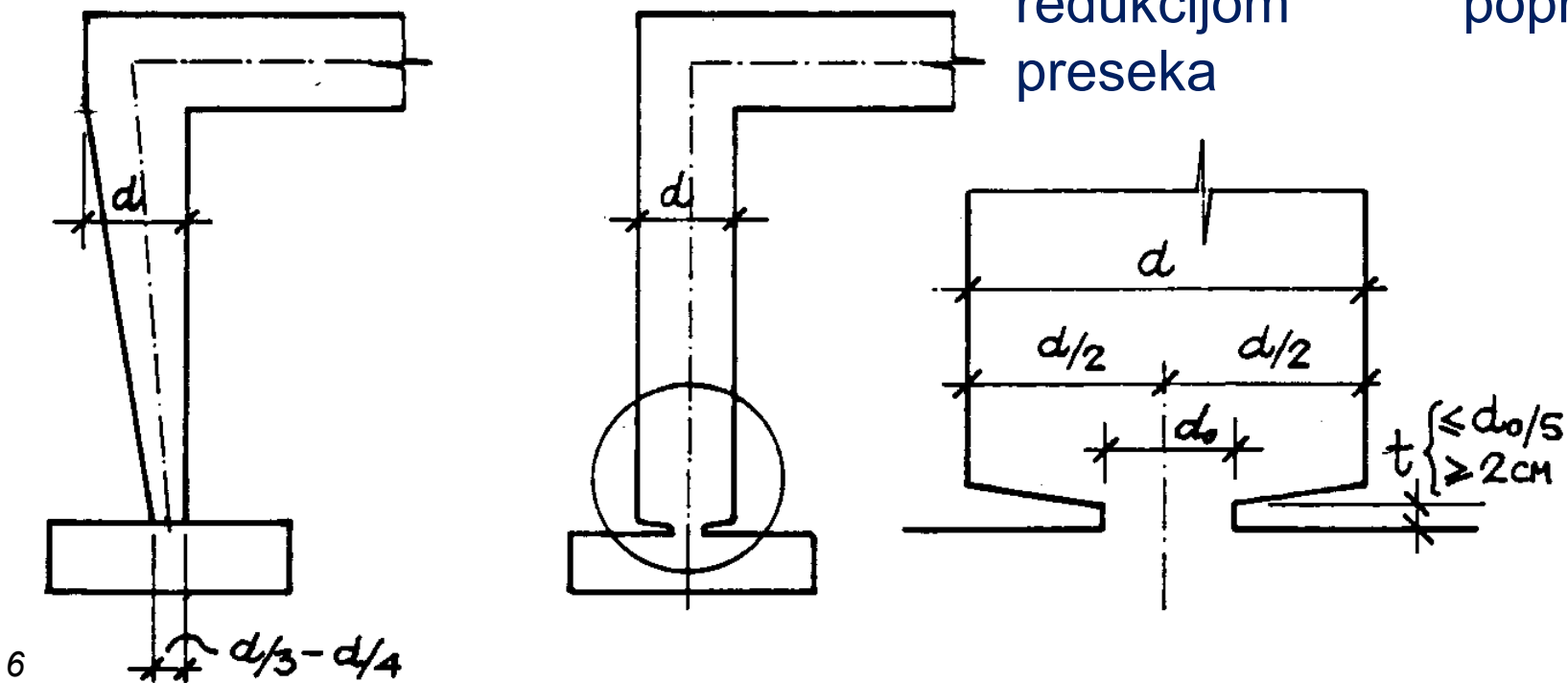


1.2. Statički sistemi i statički proračun

- Statički sistemi:
 - Statički određeni (loše tlo)
 - Statički neodređeni (dobro tlo)
- Izbor statičkog sistema zavisi od:
 - Vrste tla
 - Opterećenja
 - Načina građenja
 - Dopuštenih horizontalnih i vertikalnih deformacija
 - Temperaturnih uticaja
 - Skupljanja betona

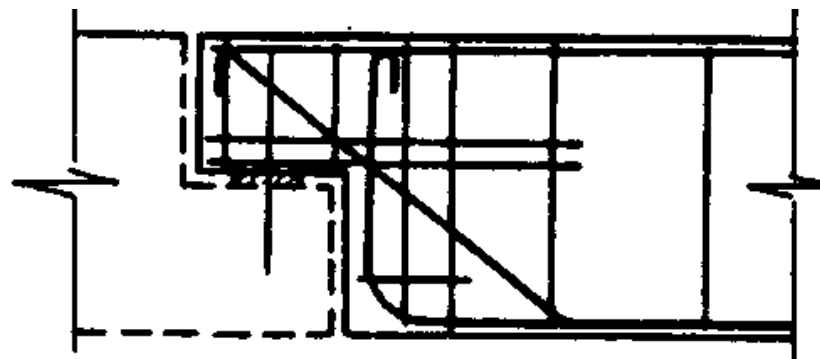
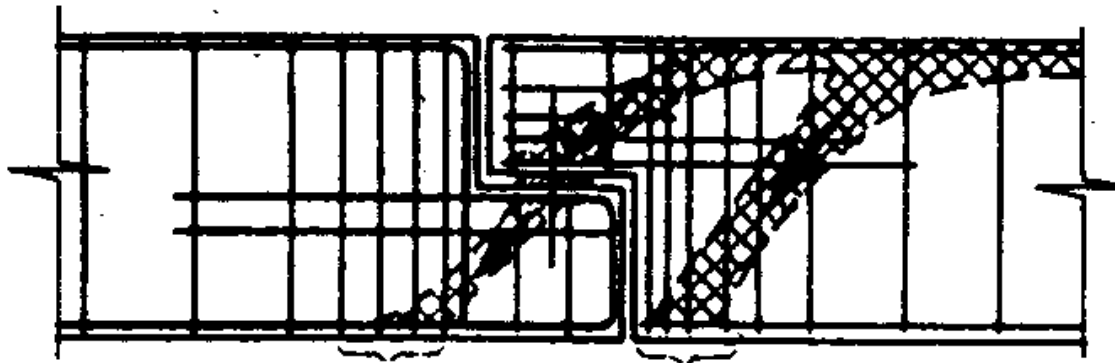
1.2. Statički sistemi i staticki proračun

- Stubovi rama oslanjaju se na tlo preko temelja
- Veze stuba i temelja mogu biti:
 - Zglobne
 - Krute
- Zglobna veza između stuba i grede postiže se redukcijom poprečnog preseka



1.2. Statički sistemi i statički proračun

- Zglobna veza između greda:



1.2. Statički sistemi i staticki proračun

- Visina armiranobetonskih greda obično se procenjuje u funkciji od raspona l :
 - Ramovi sa jednim poljem
 - Ramovi sa više polja
 - Širina grede je obično dva do tri puta manja od visine grede i kreće se u granicama:
- $$d = \frac{l}{12} \div \frac{l}{10}$$
- $$d = \frac{l}{16} \div \frac{l}{12}$$
- $$b = 20 \div 50 \text{ cm}$$

1.2. Staticki sistemi i staticki proračun

- Ako su dužine podužnih ramova veće od 60 do 80m, potrebno je predvideti **dilatacije** – prekide u konstrukciji
- Dilatacije smanjuju uticaje od temperaturne promene i skupljanja betona
- Izvođenje zglobova kod armiranobetonskih stubova se vrši smanjenjem poprečnog preseka stuba na mestu zgloba na približno $d/4$ do $d/3$

1.3. Proračun ramova za horizontalno opterećenje

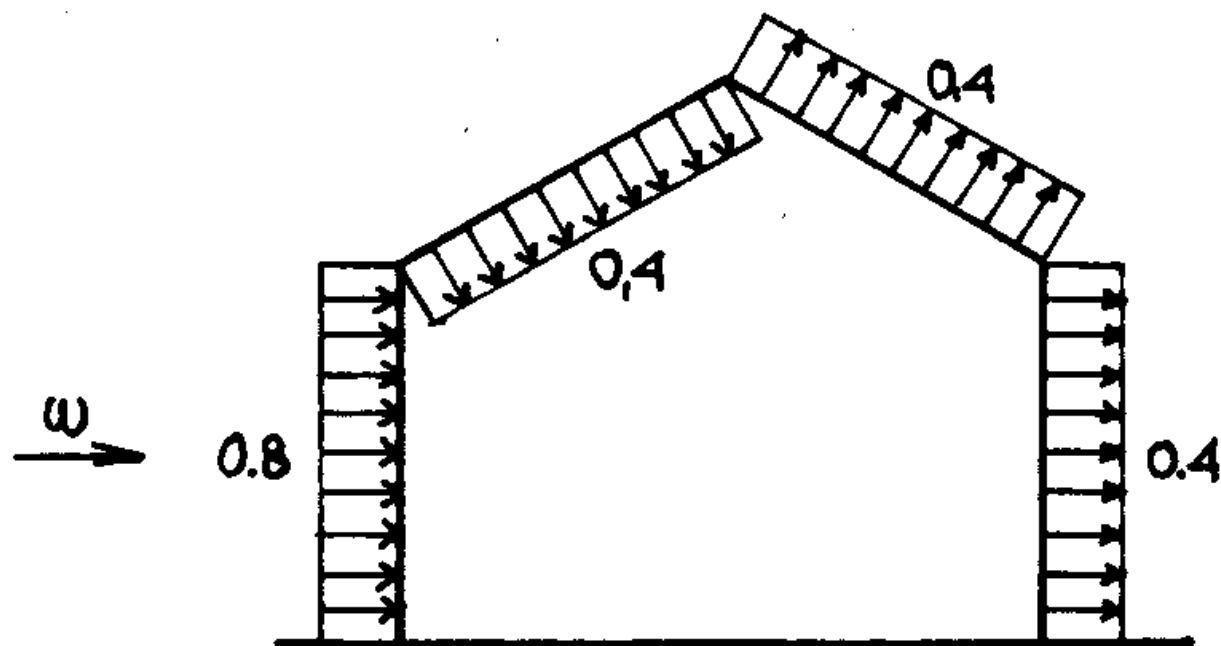
- Horizontalna opterećenja koja se mogu javiti u eksploraciji su:
 - Vetur
 - Seizmičke sile
 - Pritisak zemlje

1.3. Proračun ramova za horizontalno opterećenje

- Vetur je horizontalno opterećenje sa izrazito dinamičkim delovanjima – udar vetra
- Za uobičajne objekte određivanje intenziteta opterećenja od vetra vrši se približnim postupkom
- Smatra se da je delovanje na objekte statičke prirode opterećenjem koje nazivamo **osnovno dejstvo vetra w_o** ,
- Osnovno dejstvo vetra zavisi od:
 - brzine vetra,
 - stepena zaštićenosti,
 - visine objekta,
 - ugla između površine objekta i pravca vetra

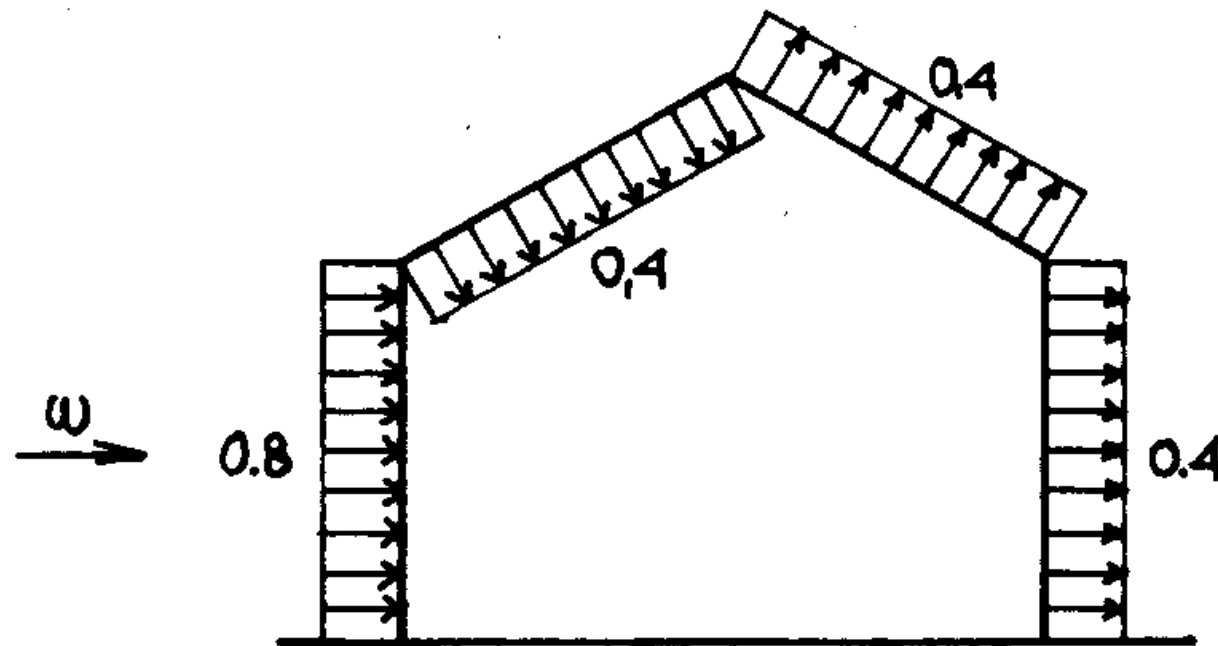
1.3. Proračun ramova za horizontalno opterećenje

- Usvaja se takva šema opterećenja da je površina objekta izložena dejstvu vetra opterećena pritiskujućem dejstvu vetra
- Zaklonjeni delovi objekta izloženi su sišućem dejstvu vetra
- Na slici su dati koeficijenti smanjenja osnovnog dejstva od vetra



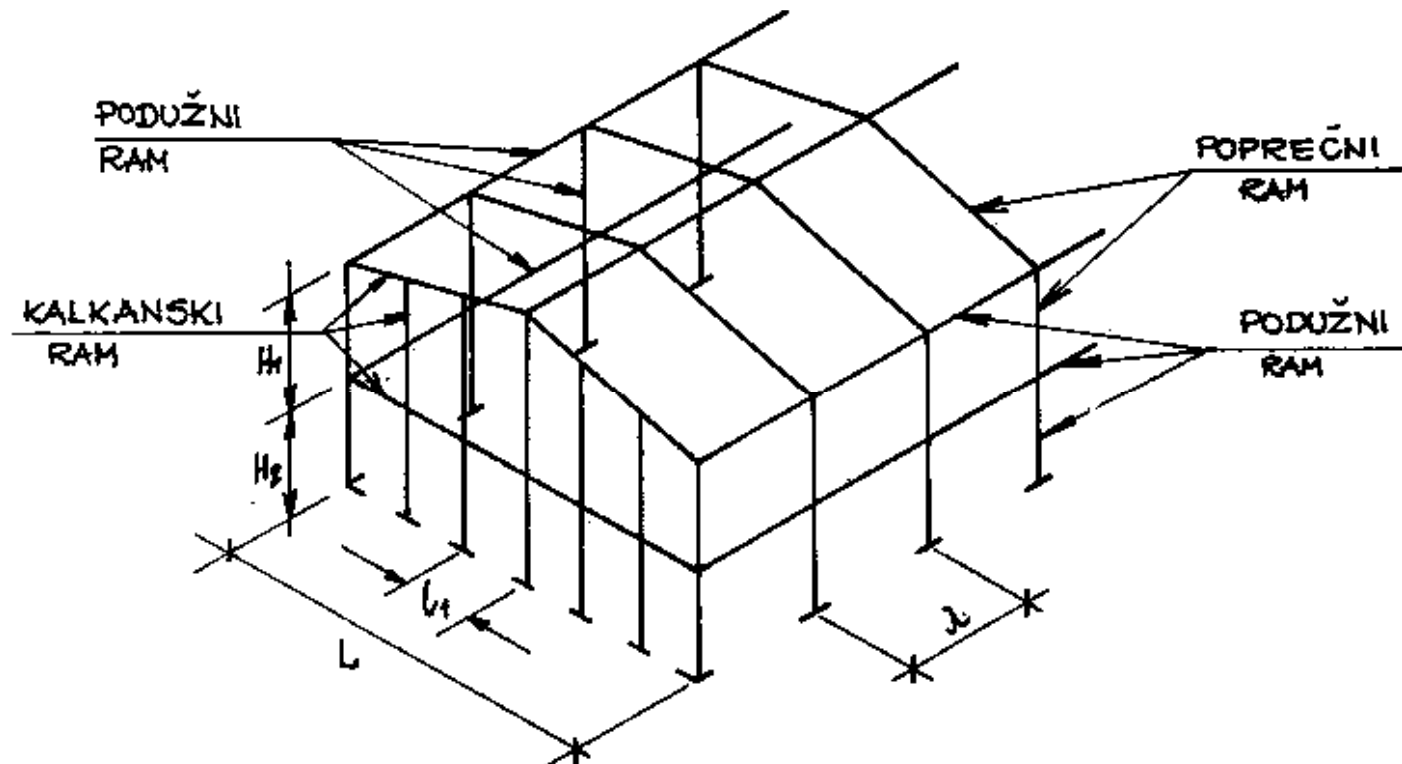
1.3. Proračun ramova za horizontalno opterećenje

- Za sve površine na koje deluje sišuće dejstvo, koeficijent smanjenja osnovnog dejstva veta je 0.4
- Za vertikalne površine izložene pritiskujućem dejstvu veta koeficijent je 0.8
- Za površine pod uglom $\alpha \leq 40^\circ$ izložene pritiskujućem dejstvu veta koeficijent je 0.4



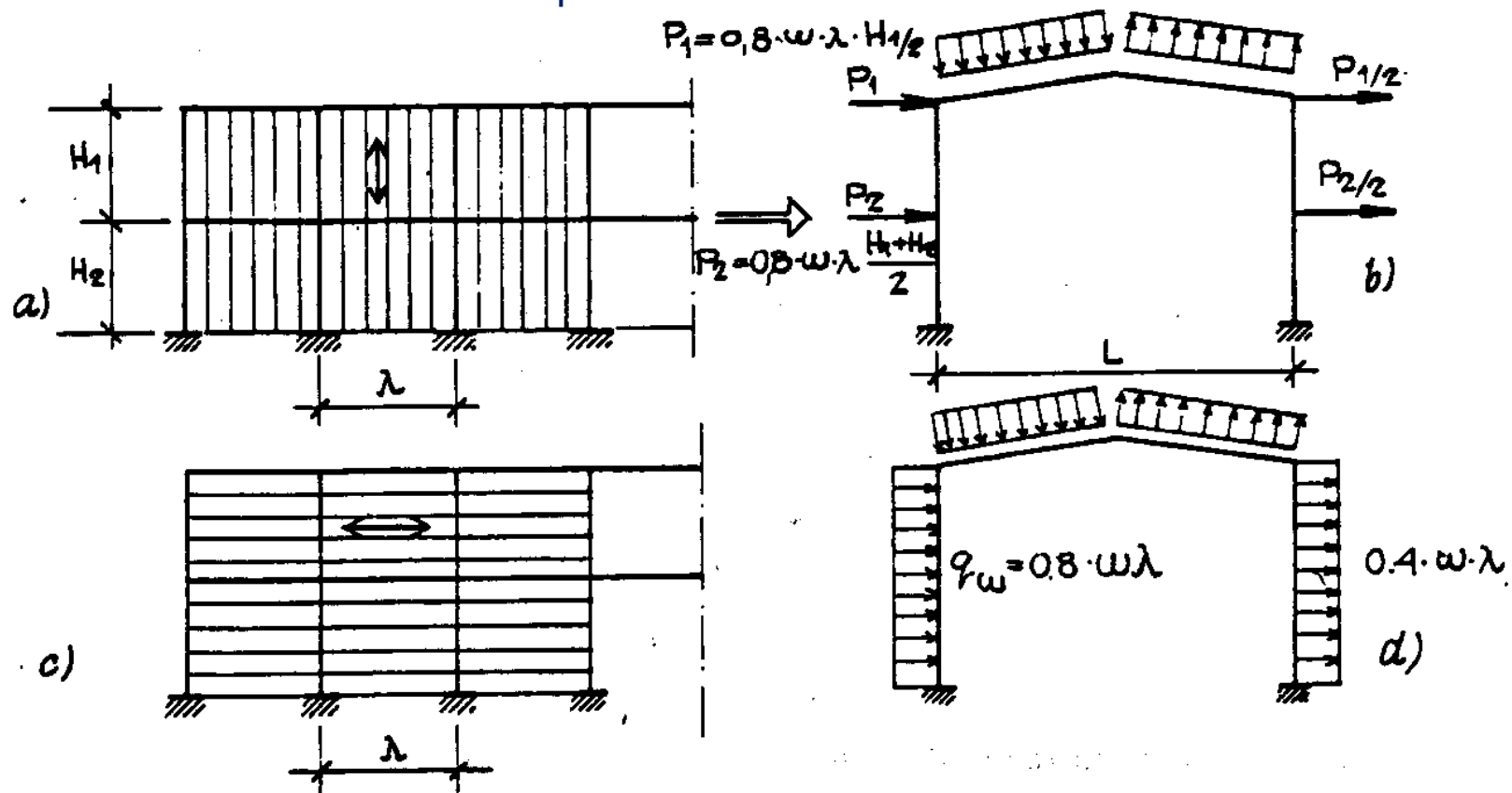
1.3. Proračun ramova za horizontalno opterećenje

- Intenzitet opterećenja izražen je u kN/m^2 upravno na površinu objekta
- **Vetar u poprečnom pravcu prihvataju poprečni i kalkanski ramovi**
- **Vetar u podužnom pravcu prihvataju podužni ramovi**



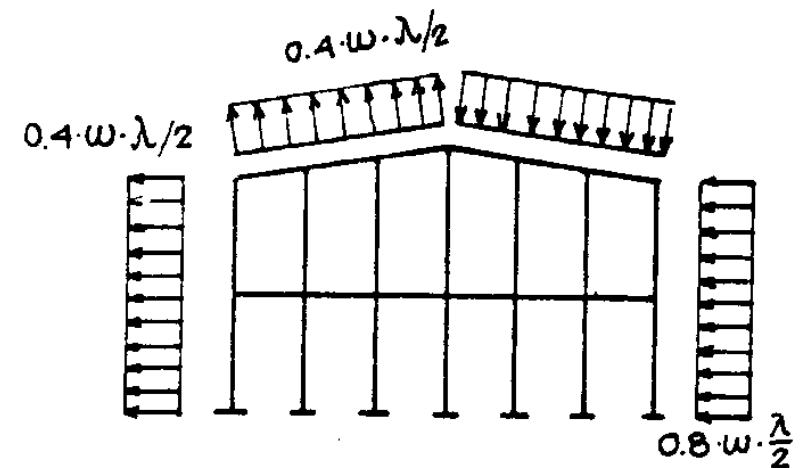
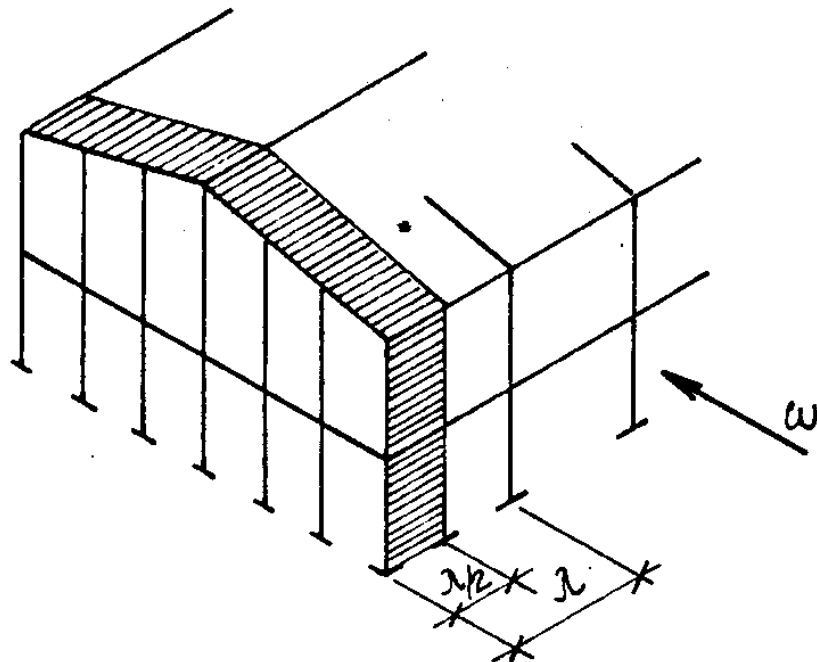
1.3. Proračun ramova za horizontalno opterećenje

- Poprečni ramovi
 - Raspodela opterećenja na poprečne ramove zavisi od načina oslanjanja fasadnih elemenata na podužne ramove



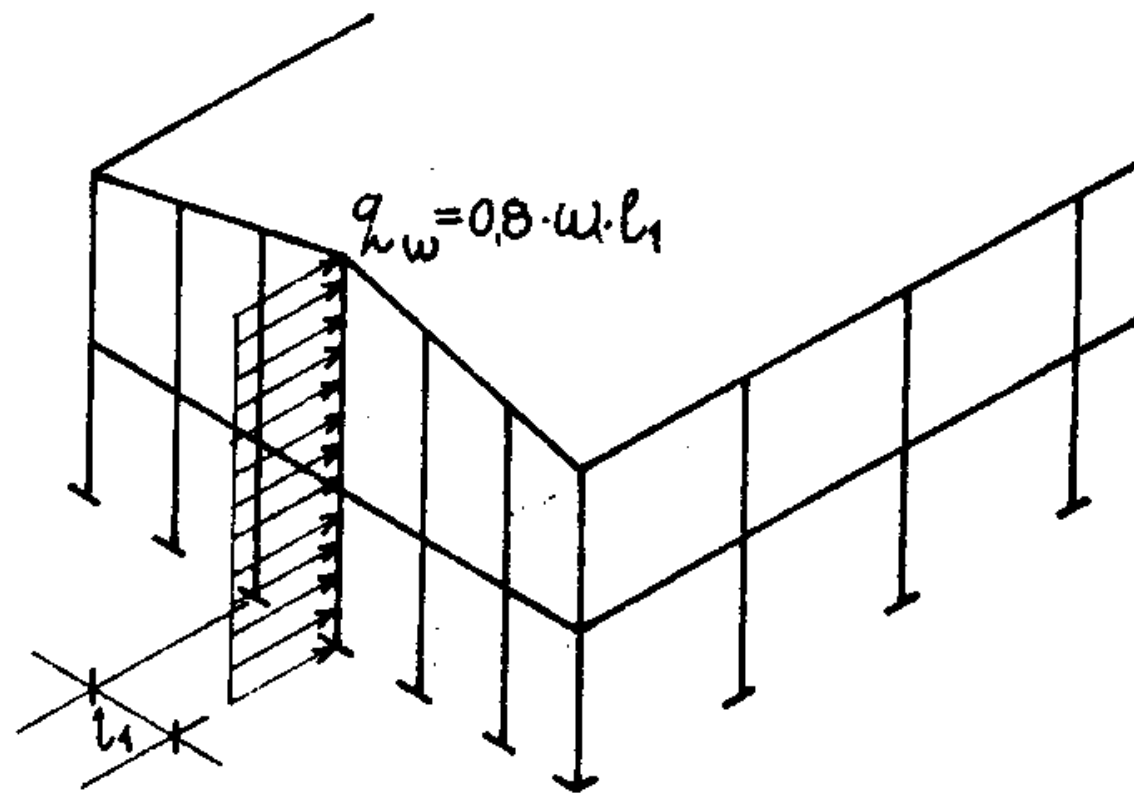
1.3. Proračun ramova za horizontalno opterećenje

- Kalkanski ramovi
 - Vetur u ravni rama



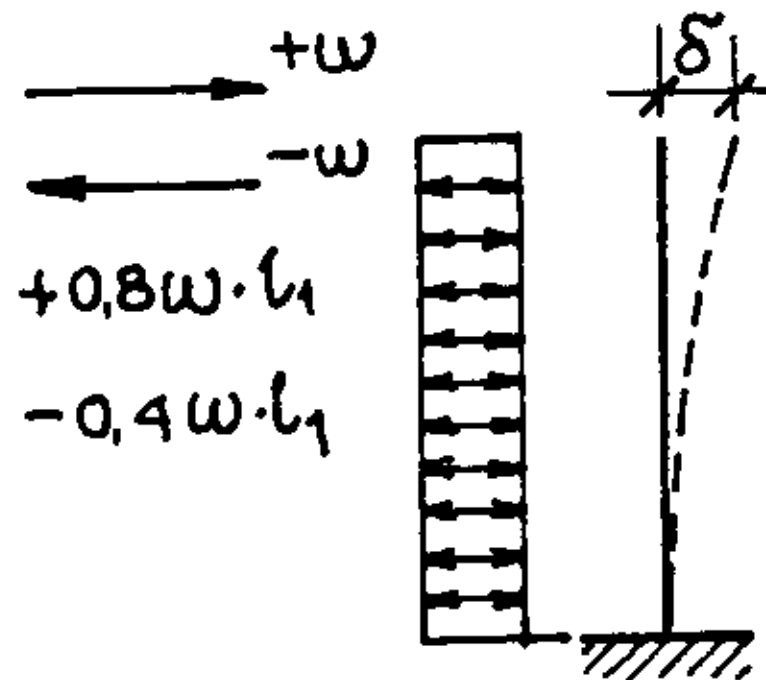
1.3. Proračun ramova za horizontalno opterećenje

- Kalkanski ramovi
 - Vetur upravno na ravan rama



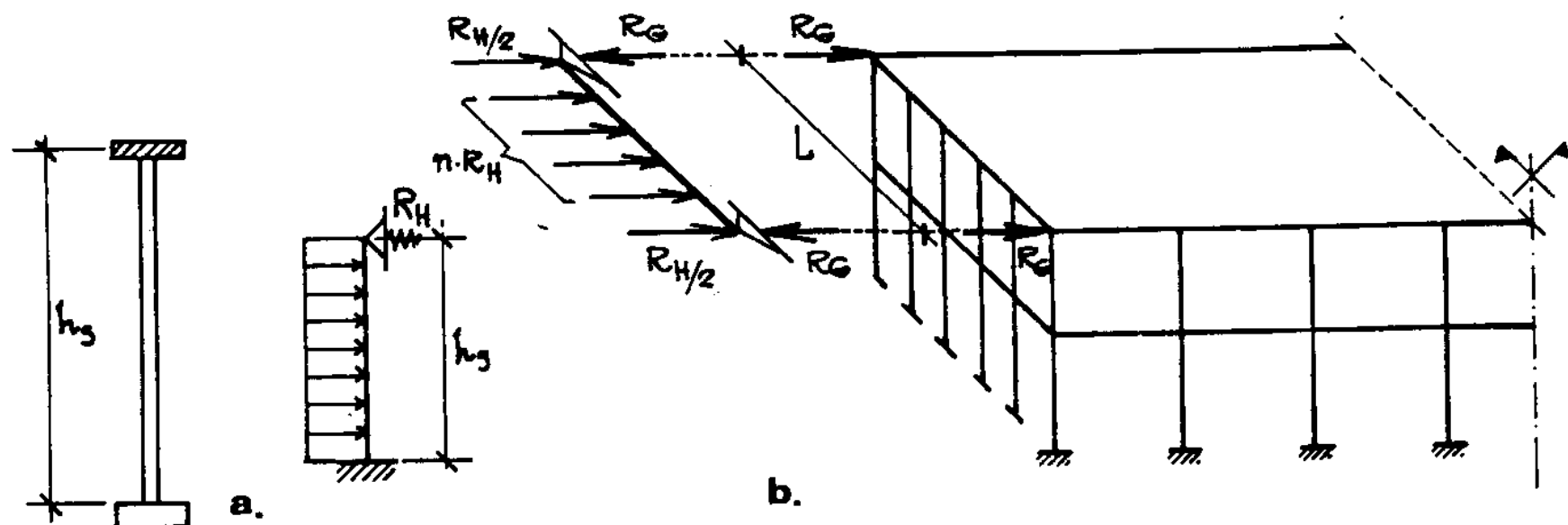
1.3. Proračun ramova za horizontalno opterećenje

- Meka krovna ravan
 - Kalkanski stubovi se usled pripadajućeg opterećenja ponašaju kao konzolni stubovi sa slobodno pomerljivim krajevima sa pomeranjem vrha za veličinu δ



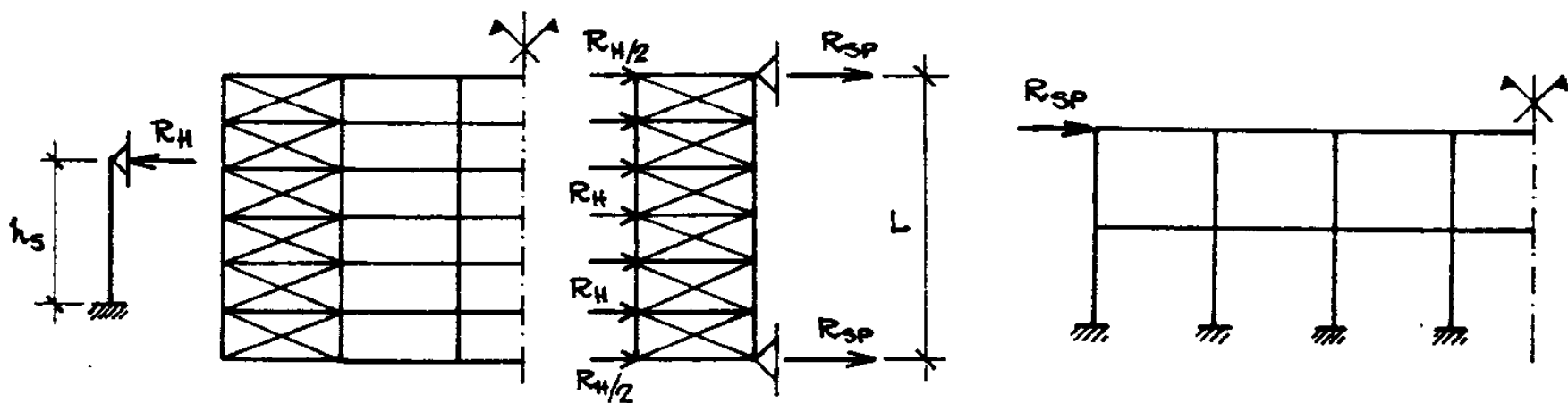
1.3. Proračun ramova za horizontalno opterećenje

- Meka krovna ravan
 - Raspon kalkana L mali



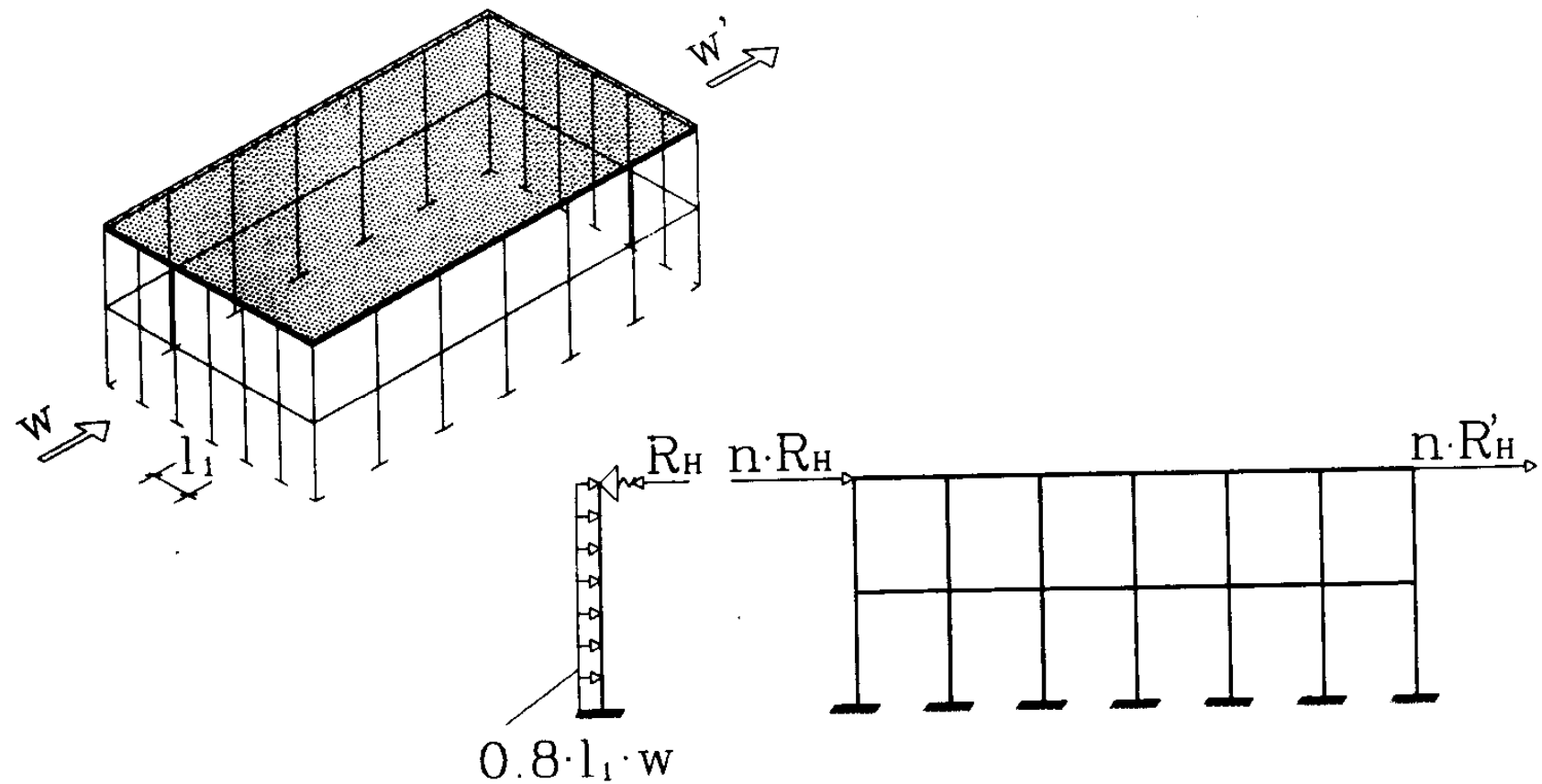
1.3. Proračun ramova za horizontalno opterećenje

- Meka krovna ravan
 - Raspon kalkana L veliki



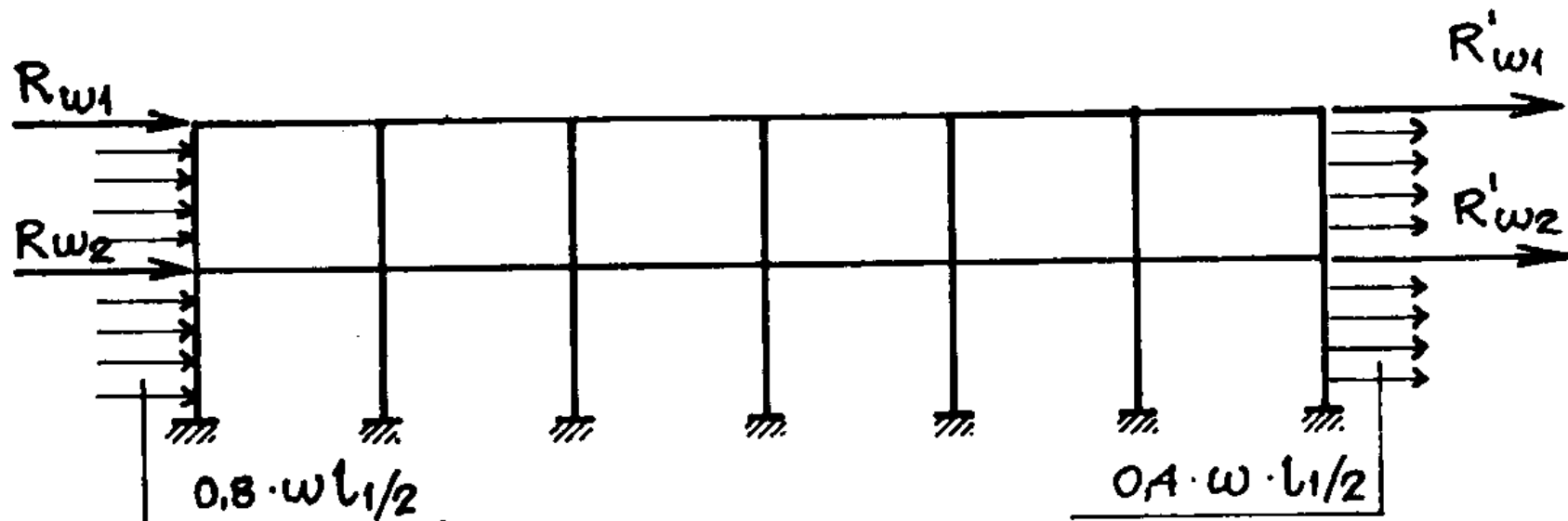
1.3. Proračun ramova za horizontalno opterećenje

- Kruta krovna ravan



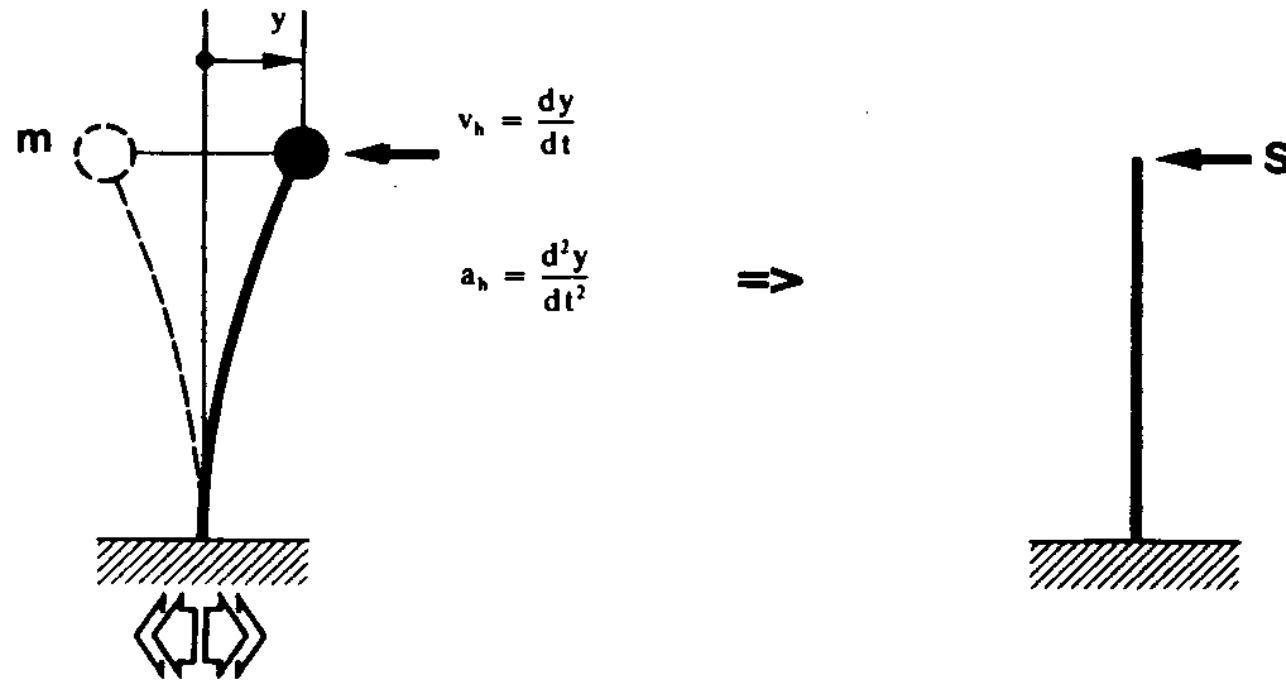
1.3. Proračun ramova za horizontalno opterećenje

- Podužni ramovi
 - Šema opterećenja podužnih ramova zavisi od proračuna kalkanskih ramova
 - Koncentrisana opterećenja na podužnom ramu javljaju se na mestima kalkanskih greda kao njihove reakcije
 - Jednako podeljeno opterećenje je deo koji se prenosi preko pripadajuće površine fasade



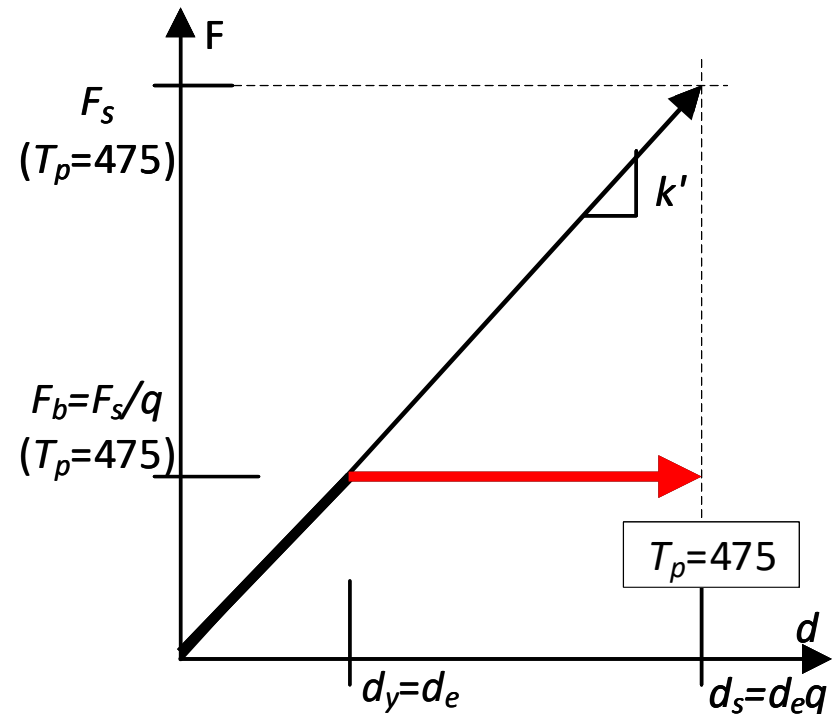
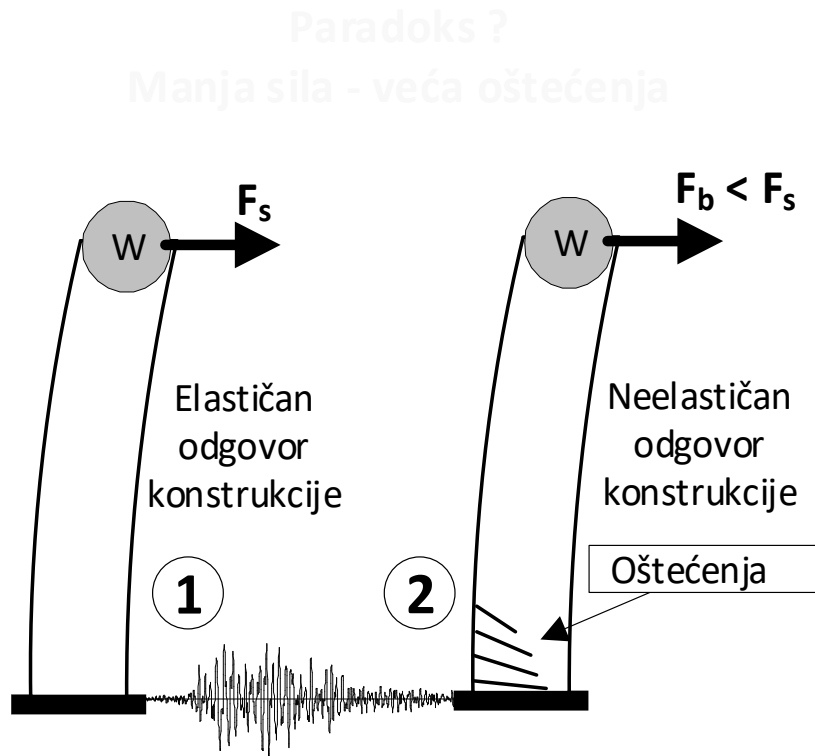
1.3. Proračun ramova za horizontalno opterećenje

- Opterećenje od seizmičkih sila
 - Inercijalne sile koje nastaju tokom zemljotresa izazivaju znatna dinamička opterećenja konstrukcije objekta
 - Za objekte manjeg značaja i složenosti proračun na dejstvo od zemljotresa sprovodi se metodom **ekvivalentnog statickog opterećenja**



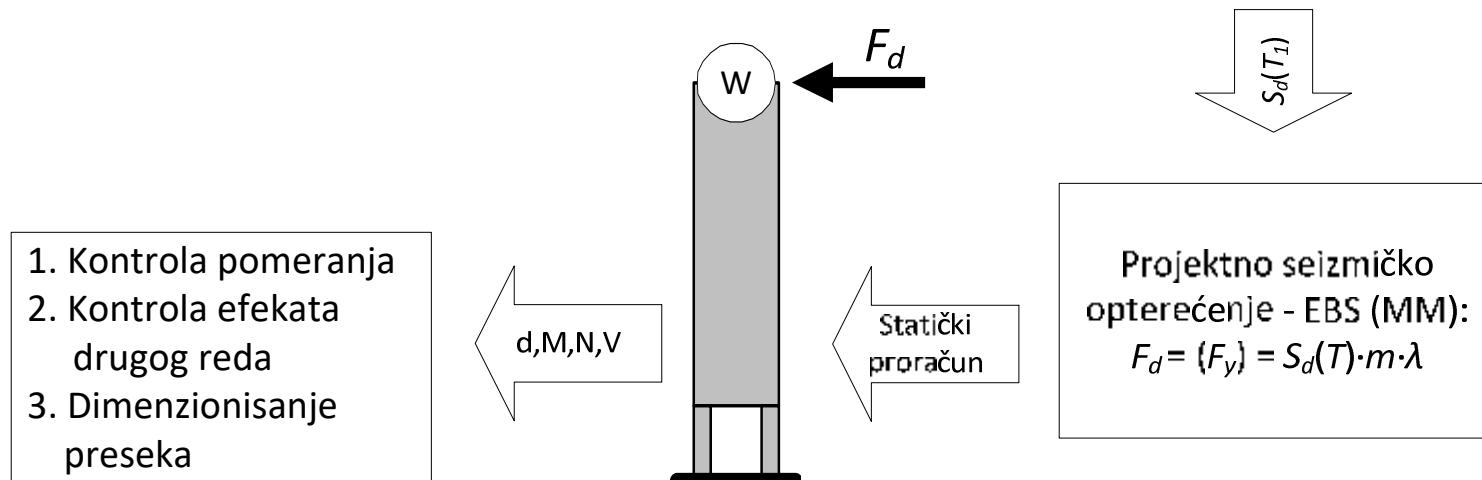
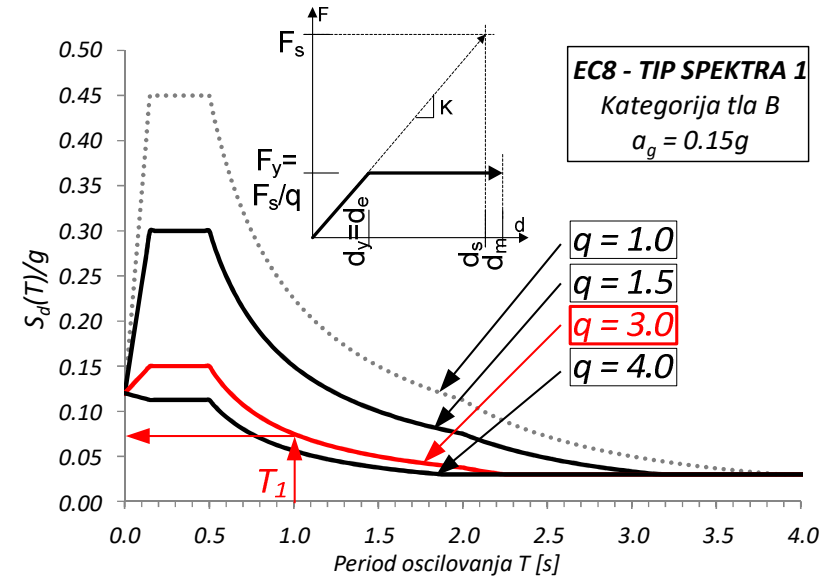
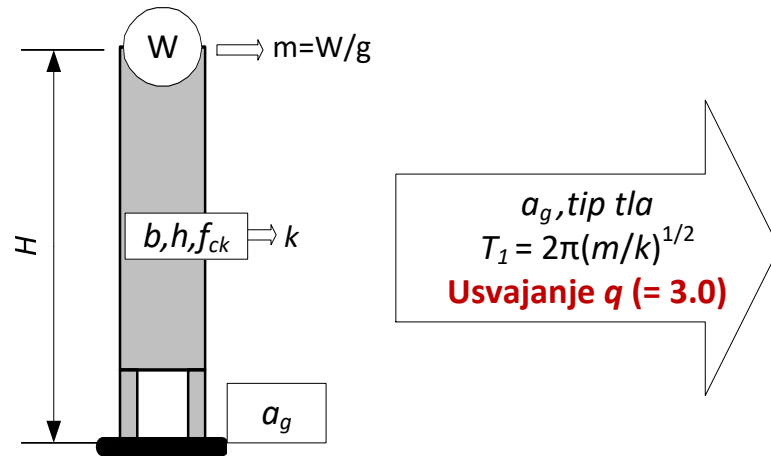
Analiza konstrukcije za dejstvo zemljotresa (SRPS EN 1998-1: 2015)

Tradicionalni koncept aseizmičkog projektovanja



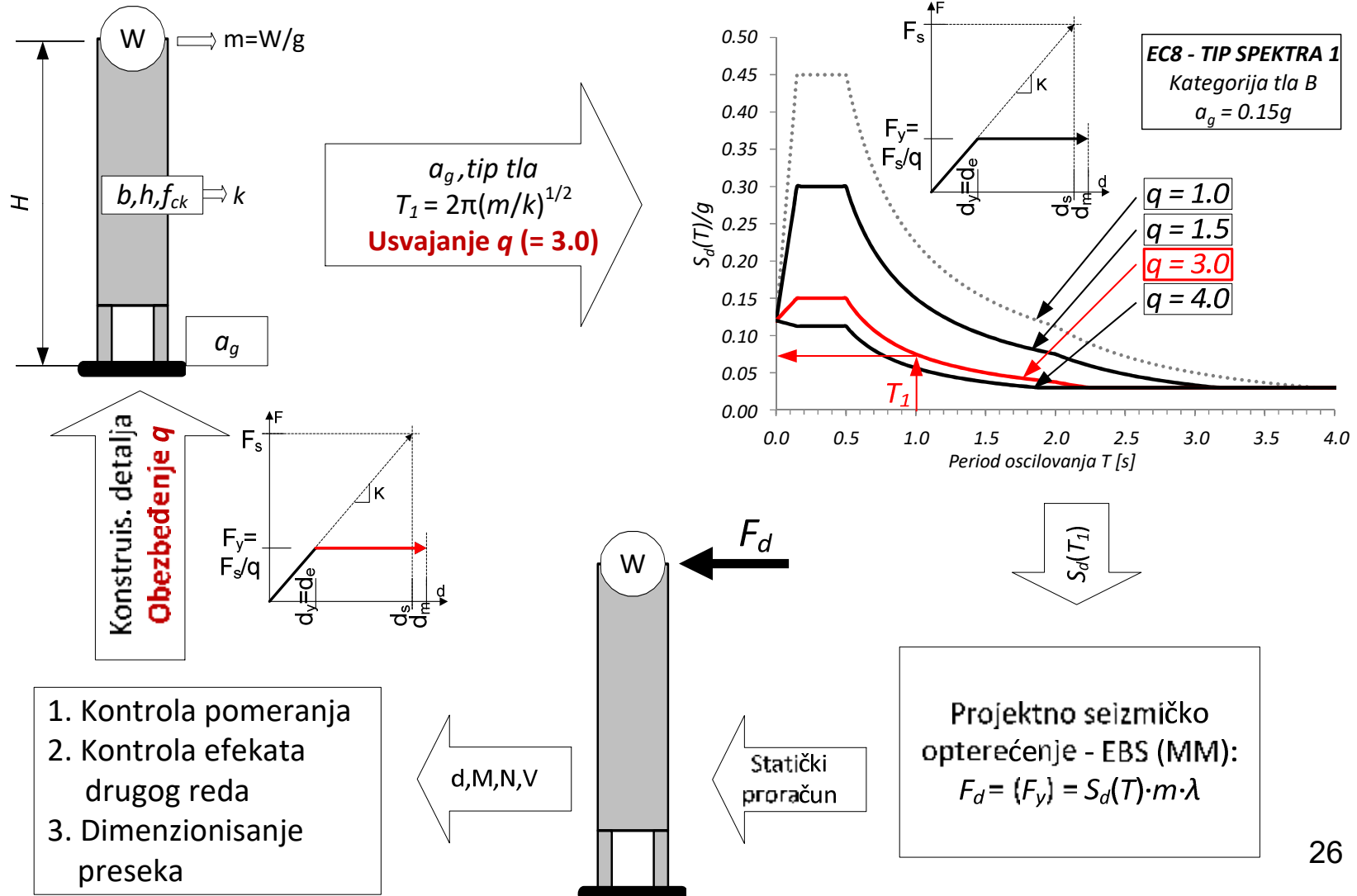
Analiza konstrukcije za dejstvo zemljotresa (SRPS EN 1998-1: 2015)

Koncept proračuna AB konstrukcija prema Evrokodu 8



Analiza konstrukcije za dejstvo zemljotresa (SRPS EN 1998-1: 2015)

Koncept proračuna AB konstrukcija prema Evrokodu 8

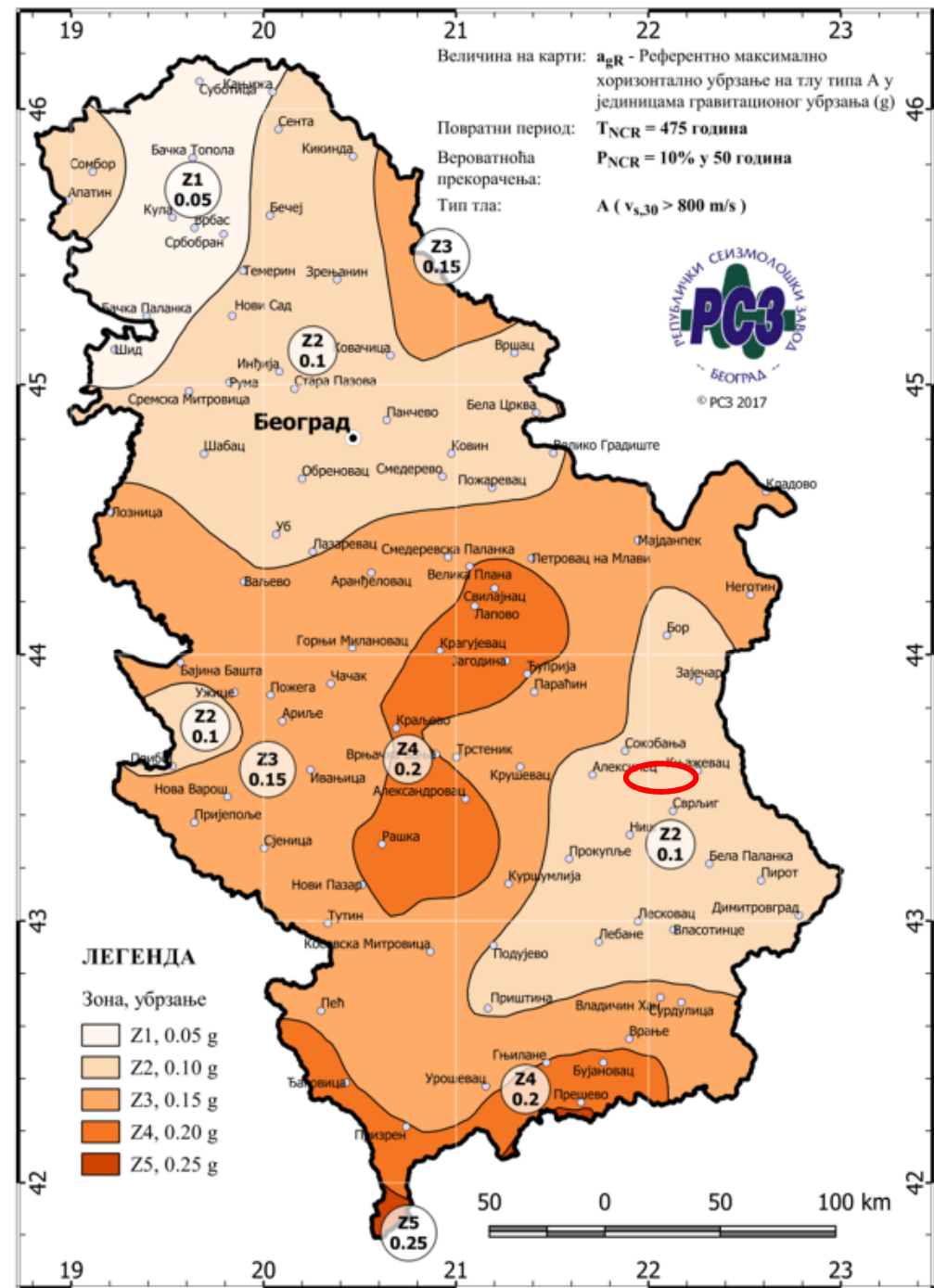


Analiza konstrukcije za dejstvo zemljotresa (SRPS EN 1998-1: 2015)

Ulagni podaci – parametri seizmičkog opterećenja

- Osnovni podaci za određivanje seizmičkog opterećenja su:
 - referentno maksimalno horizontalno ubrzanje na tlu (a_{gR})
 - Tip tla
 - Tip spektra

Karta zona maksimalnih horizontalnih ubrzanja na tlu tipa A za povratni period od $T_{NCR} = 475$ godina (SRPS EN 1998-1/NA 2018, Prilog A)



Analiza konstrukcije za dejstvo zemljotresa (SRPS EN 1998-1: 2015)

Dinamičke karakteristike konstrukcije – proračun mase konstrukcije

- Seizmička sila i period oscilovanja konstrukcije određuju se na osnovu masa koje su povezane sa gravitacionim opterećenjima koja se javljaju u sledećoj kombinaciji dejstava:

$$\sum G_{k,j} + \sum \psi_{E,i} \cdot Q_{k,i}$$

gde je $\psi_{E,i} = \varphi \cdot \psi_{2,i}$ koeficijent kombinacije promenljivog dejstva i .

- Koeficijenti kombinacije:

a) Korisno opterećenje (Kategorija A): $\psi_{2,q} = 0.3$

b) Opterećenje od snega: $\psi_{2,s} = 0.0$

Vrednosti parametra φ u proračunu $\psi_{E,i}$

Vrsta promenljivog dejstva	Sprat	φ
Kategorije A-C*	Krov	1.0
	Spratovi sa sadržajima u korelaciji	0.8
	Spratovi sa nezavisnim sadržajem	0.5
Kategorije D-F* i Arhive		1.0

*Kategorije kao što je definisano u EN 1991-1-1:2002

Proračun seizmičkih sila prema Evrokodu 8

Metoda Ekvivalentnih bočnih sila

Prema EN 1998-1:2004, ukupna seizmička sila F_b jednaka je:

$$F_b = S_d(T_1) \cdot m \cdot \lambda$$

gde je

$S_d(T_1)$ ordinata projektnog spektra za period T_1 ,

T_1 osnovni period slobodnih vibracija za posmatrani horizontalni pravac

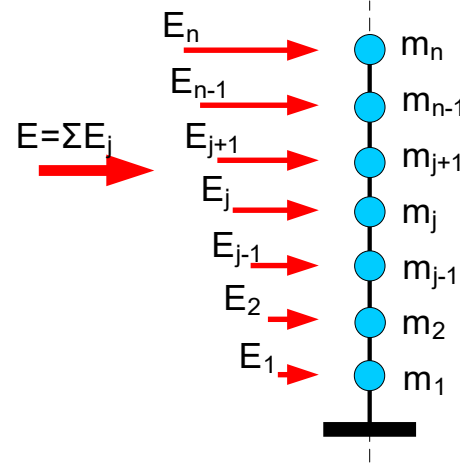
m ukupna masa zgrade iznad temelja

λ korekcioni faktor, čija je vrednost jednaka $\lambda = 0,85$ ako je $T_1 < 2T_c$ i ako zgrada ima više od dva sprata, dok je $\lambda = 1,0$ u svim ostalim slučajevima

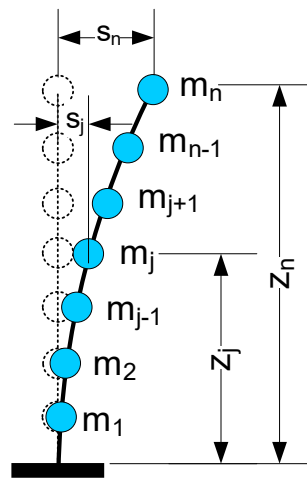
Proračun AB zgrade sa zidovima

5 Proračun seizmičkih sila prema Evrokodu 8

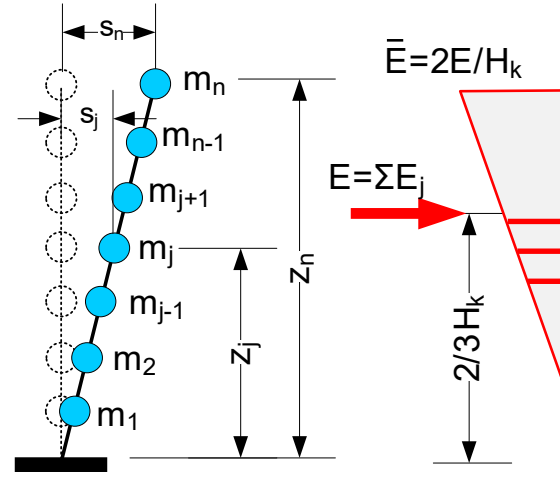
Raspodela seizmičkih sila po visini konstrukcije



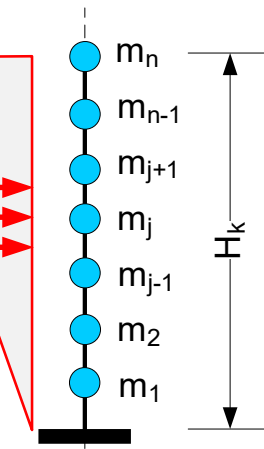
a) Proračunski model – raspodela ukupne seizmičke sile po visini



b) Raspodela sile prema pomeranjima spratova u osnovnom tonu



c.1) Raspodela sile pod pretpostavkom linearne promene pomeranja spratova po visini (koristiti u elaboratu)



c.2) Uprošćenje linearne raspodele sile - „trougaona“ raspodela (koristiti u ispitnim zadacima)

Raspodela
seizmičke sile
po visini:

Moment savijanja
u uklještenju:

$$E_j = E \cdot \frac{s_j \cdot m_j}{\sum s_j \cdot m_j}$$

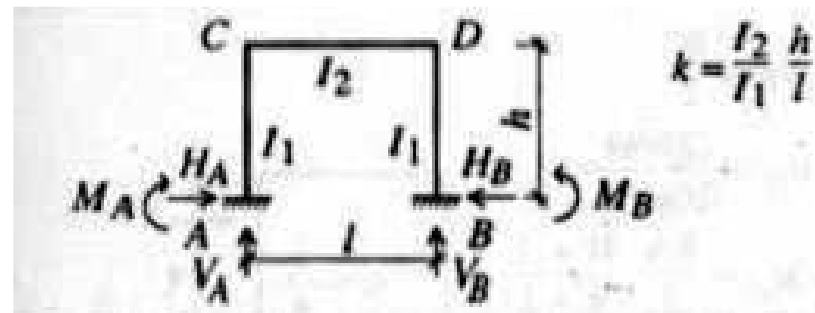
$$M_E = \sum E_j \cdot z_j$$

$$E_j = E \cdot \frac{z_j \cdot m_j}{\sum z_j \cdot m_j}$$

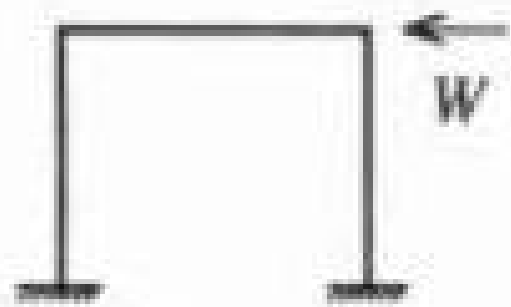
$$M_E = \sum E_j \cdot z_j$$

$$\begin{aligned} M_E &= \bar{E} \cdot H_k^2 / 3 \\ &= E \cdot 2H_k / 3 \end{aligned}$$

1.3. Proračun ramova za horizontalno opterećenje



$$H = H_A = H_B = \frac{q l^2}{4h(k + 2)}$$
$$V_A = V_B = \frac{q l}{2}$$
$$M_A = M_B = \frac{q l^2}{12(k + 2)} = H \frac{h}{3}$$
$$M_C = M_D = \frac{q l^2}{6(k + 2)} = -2H \frac{h}{3}$$



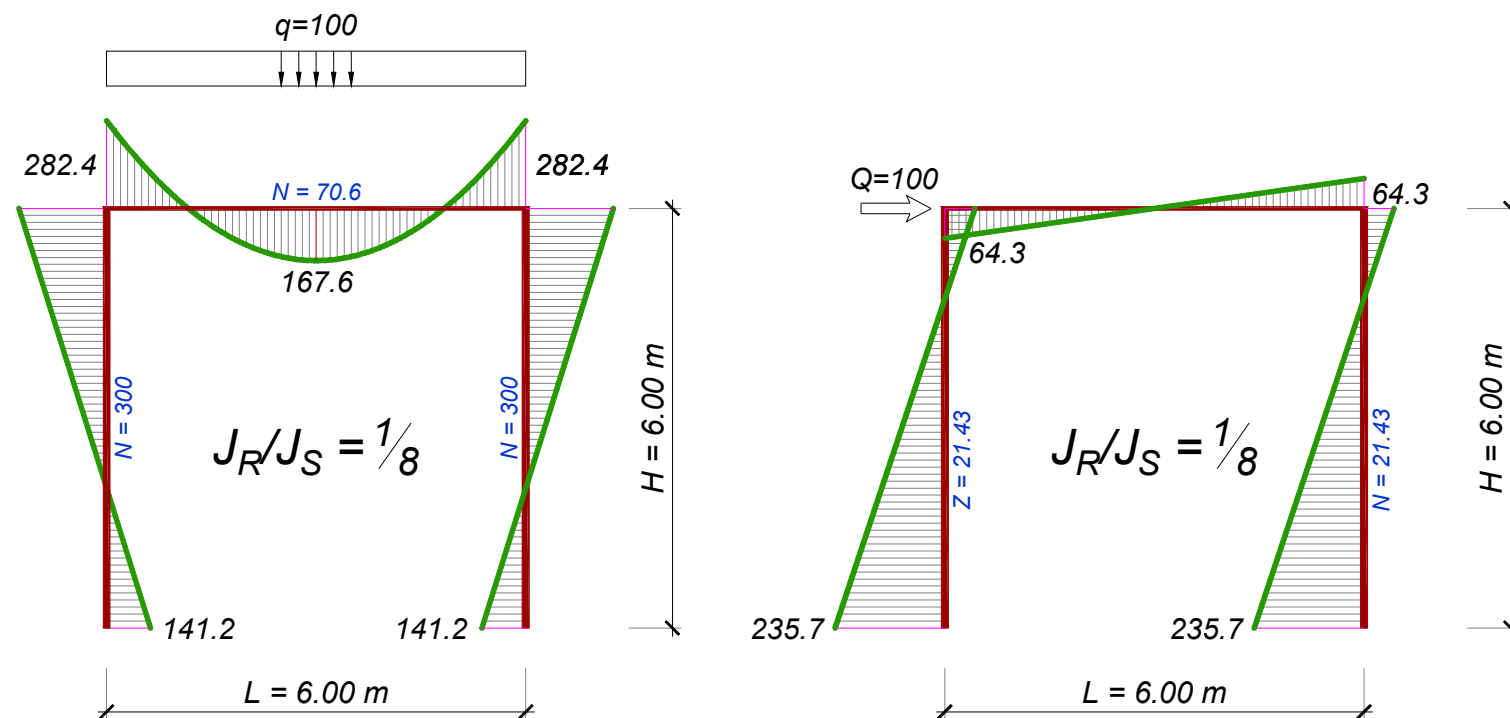
$$H_A = -H_B = \frac{W}{2}$$

$$V_A = -V_B = \frac{3Whk}{K(6k+1)}$$

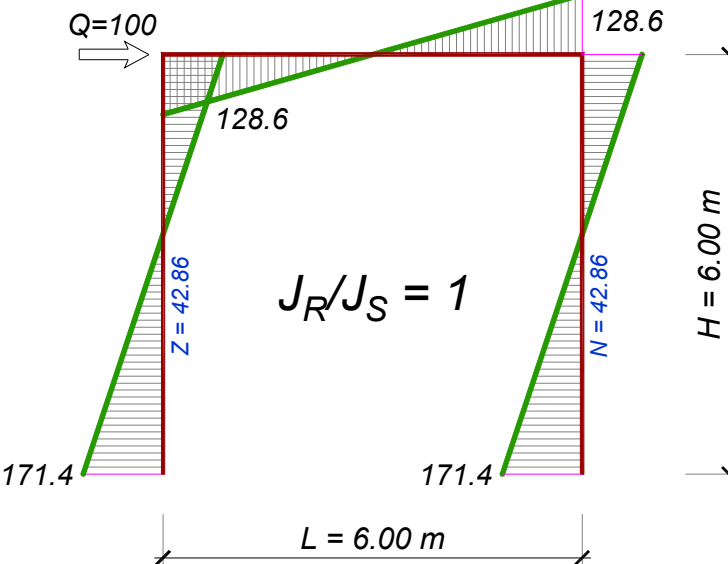
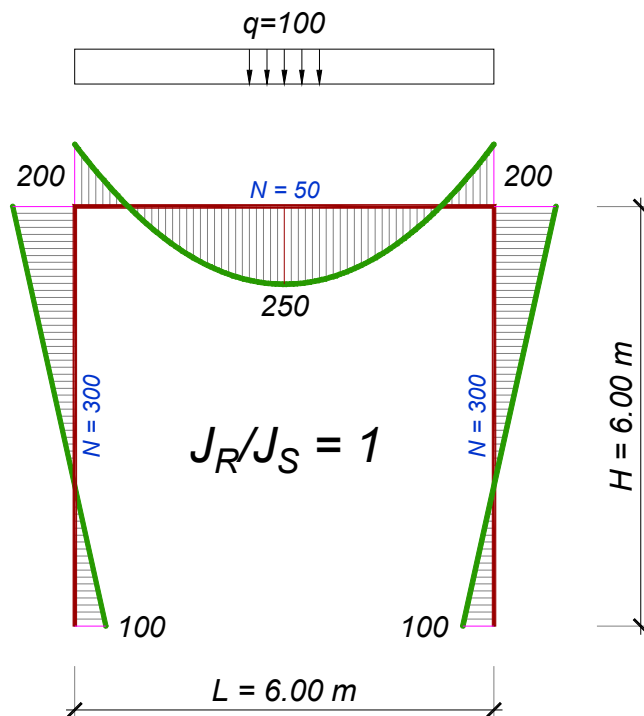
$$M_A = -M_B = \frac{Wh}{2} \frac{3k+1}{6k+1}$$

$$M_C = -M_D = \frac{Wh}{2} \frac{3k}{6k+1}$$

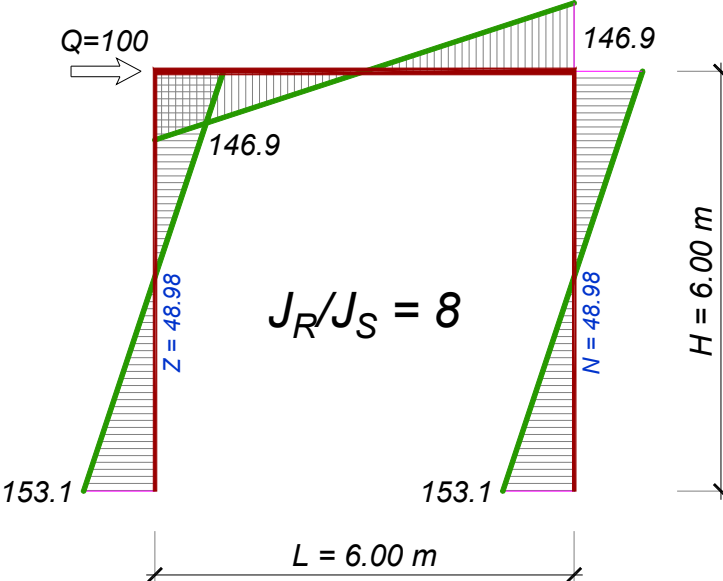
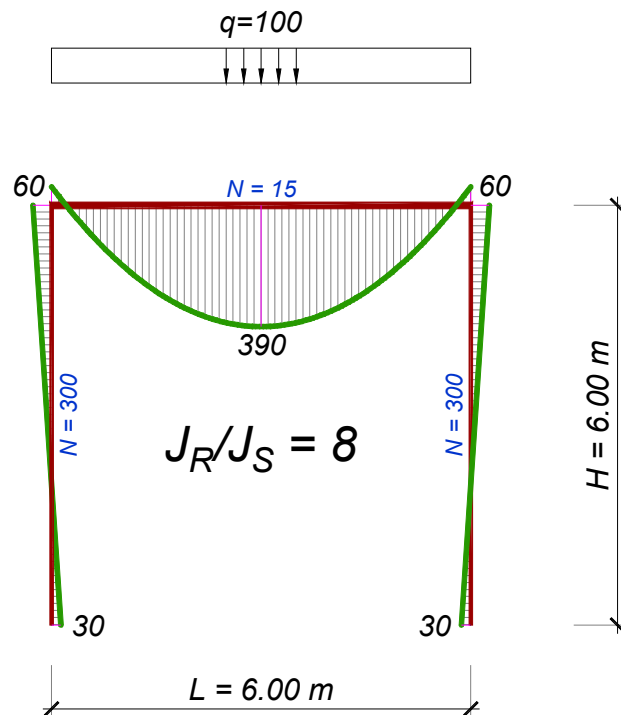
Greda 30/30 cm, stubovi 30/60 cm



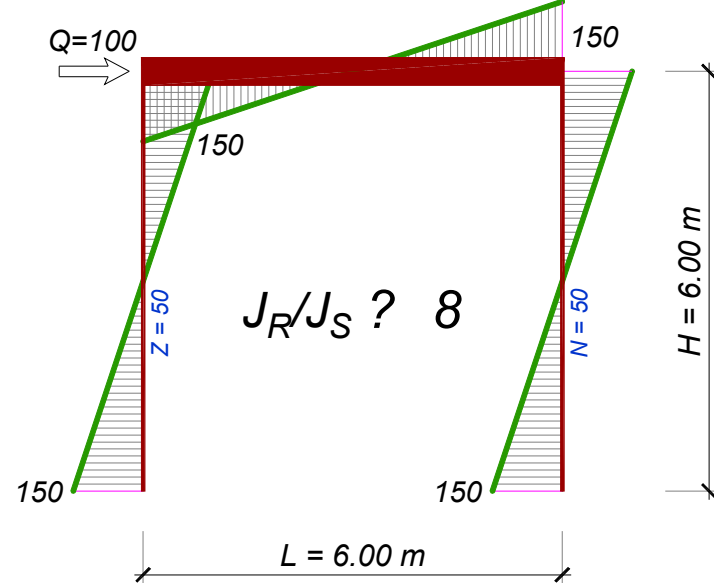
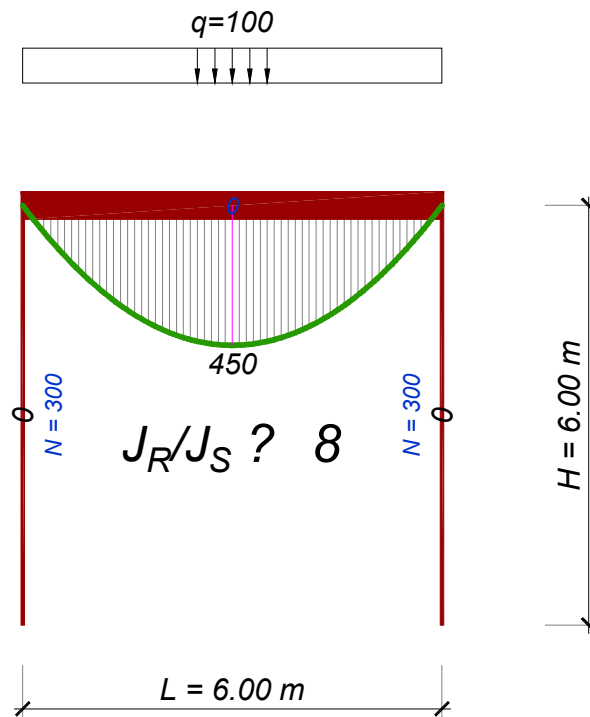
Greda 30/60 cm, stubovi 30/60 cm



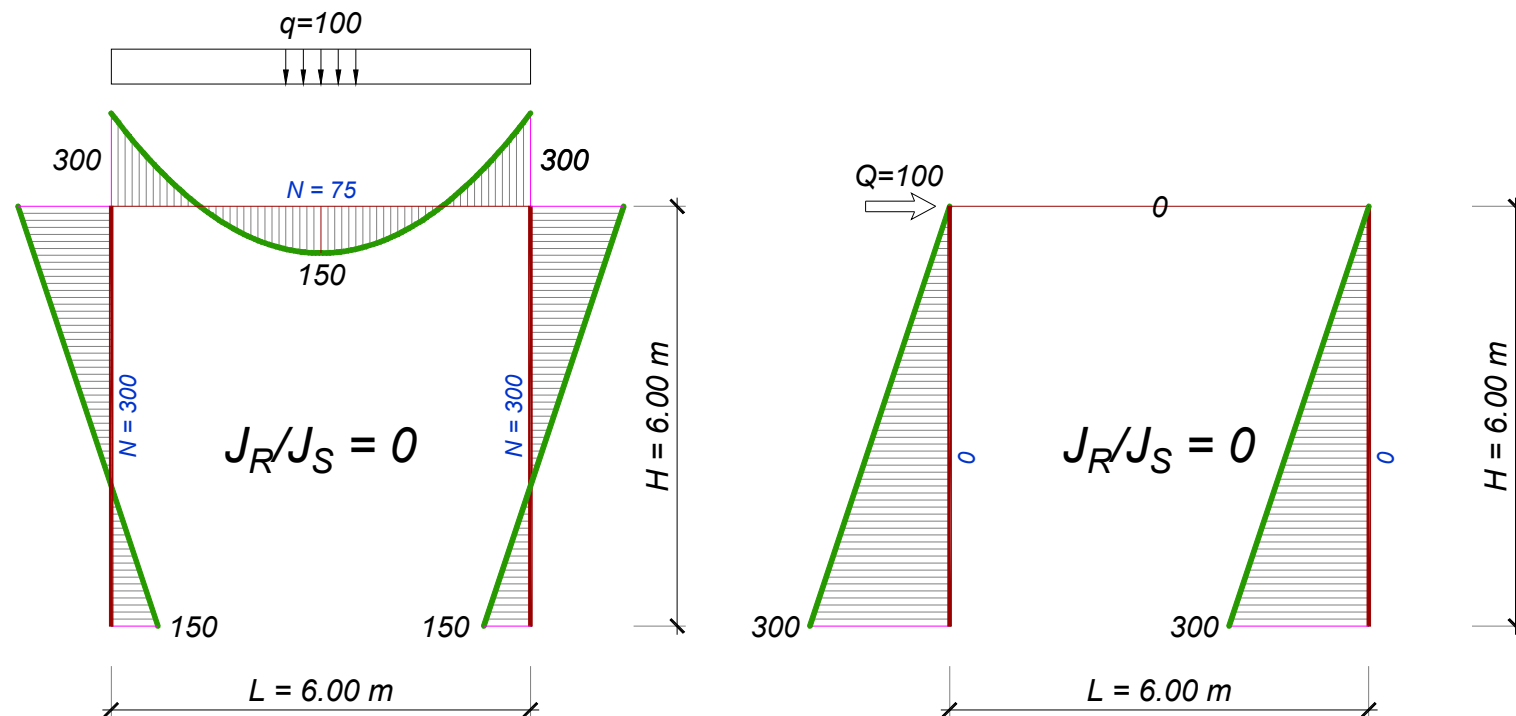
Greda 30/60 cm, stubovi 30/30 cm



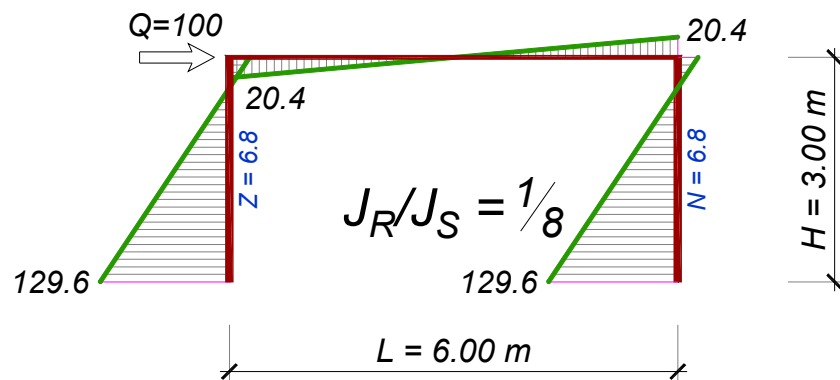
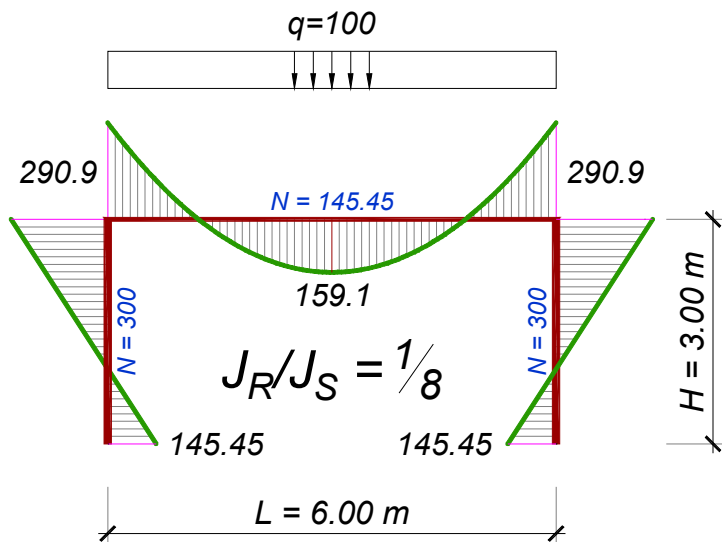
“beskonačno” kruta greda



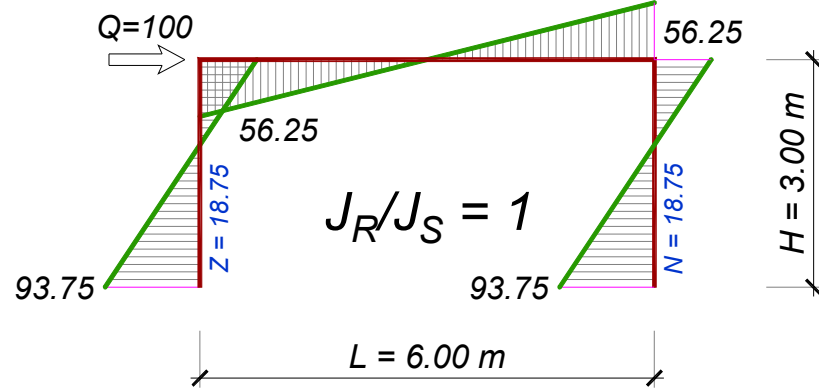
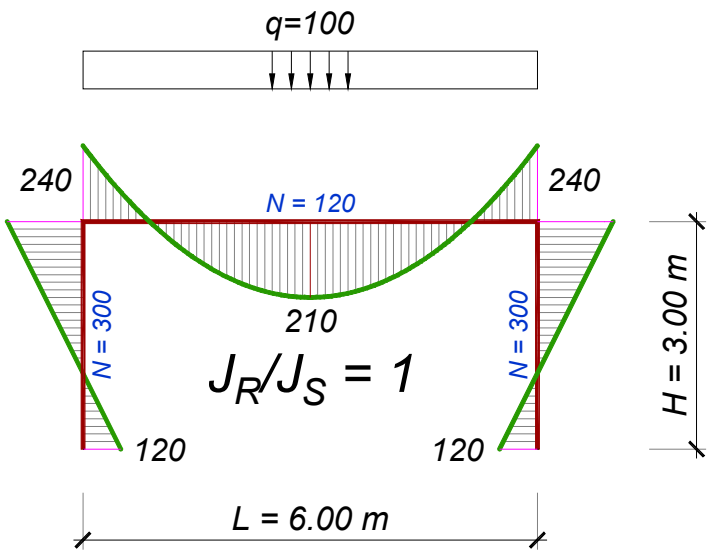
“beskonačno” kruta ploča



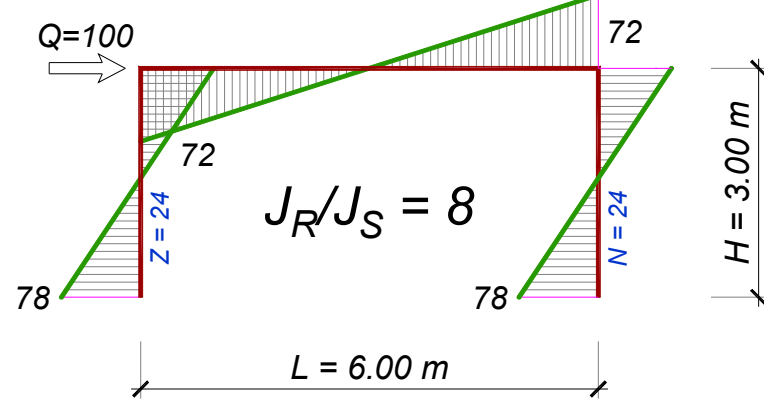
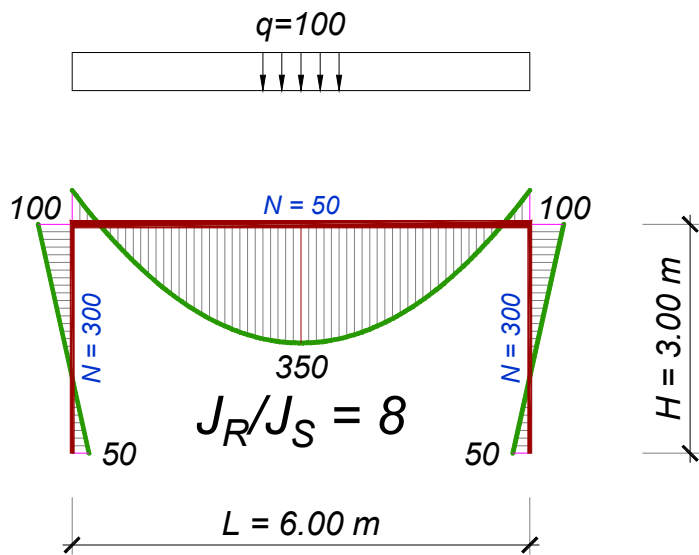
Greda 30/30 cm, kratki stubovi 30/60 cm



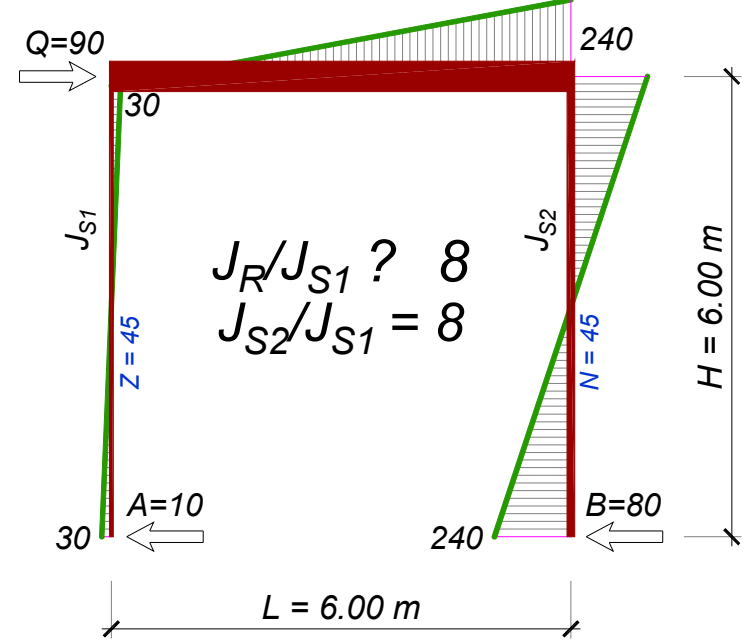
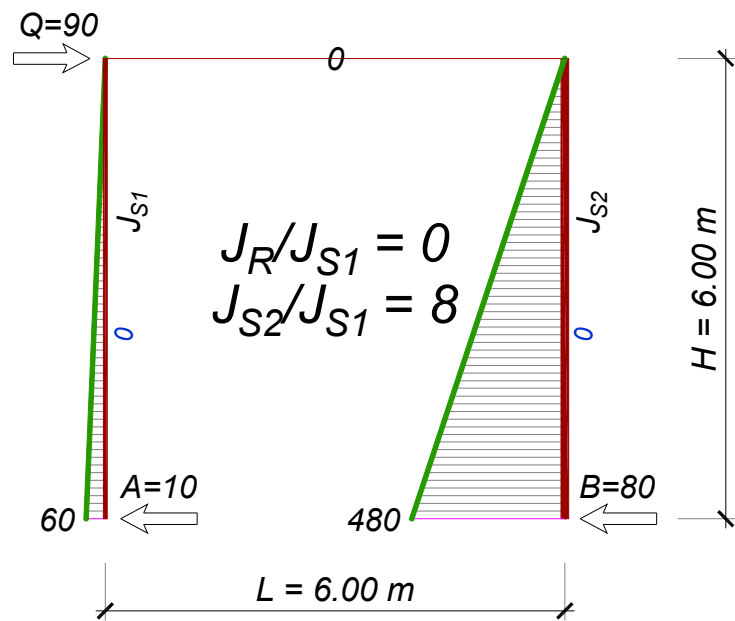
Greda 30/60 cm, kratki stubovi 30/60 cm



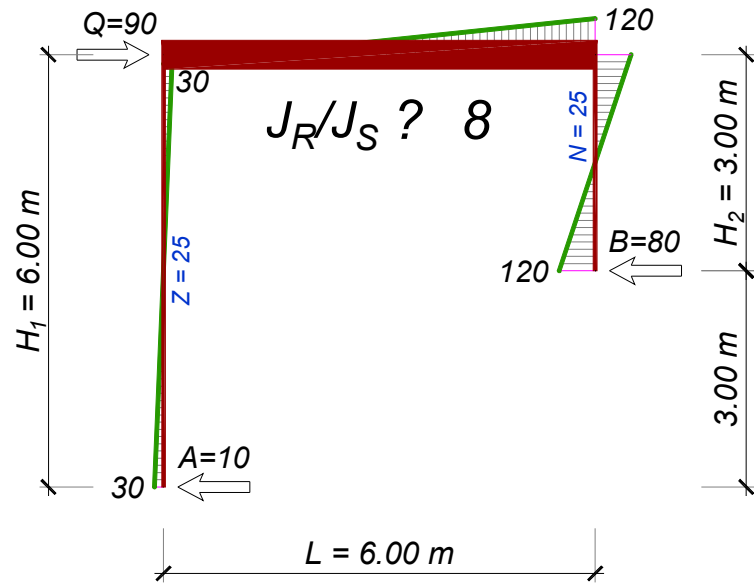
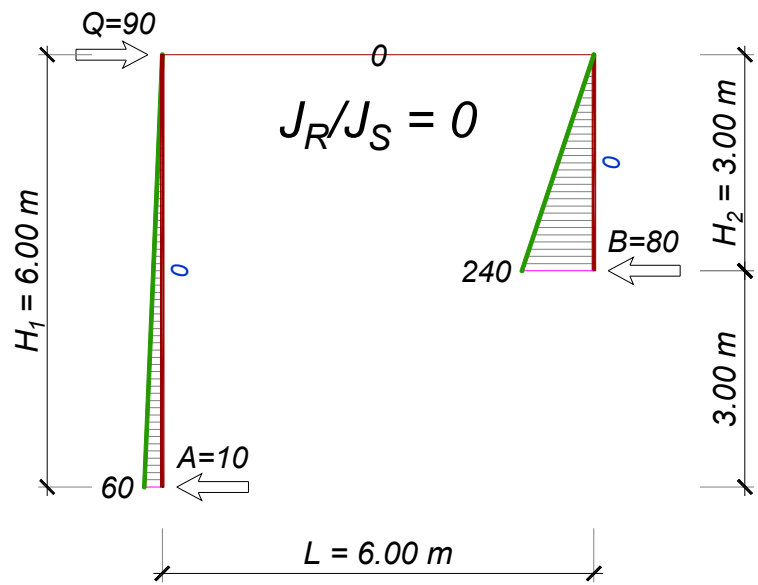
Greda 30/60 cm, kratki stubovi 30/30 cm



Stubovi različite krutosti



Stubovi različite krutosti i visine

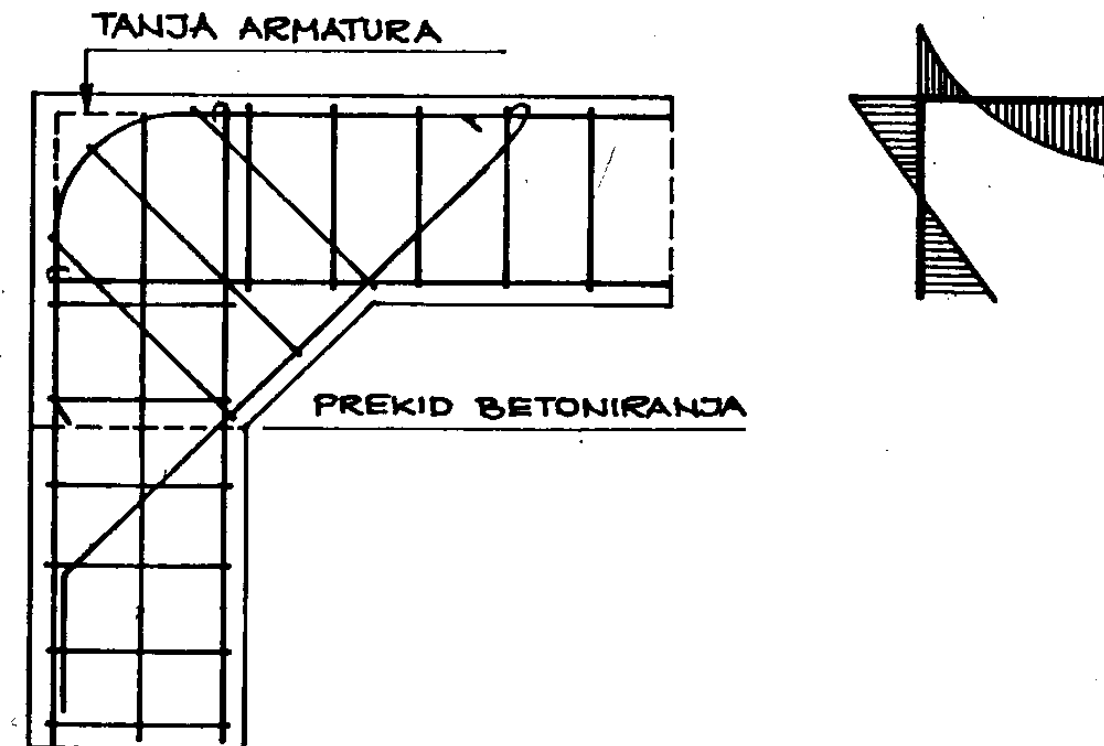


1.4. Dimenzionisanje

- Dimenzionisanje se vrši u karakterističnim presecima elemenata konstrukcije
 - Za grede rama su to obično preseci na spoju sa stubovima gde su najveći negativni momenti i preseci u polju gde su ekstremne vrednosti pozitivnih momenata
 - Za stubove su to preseci na krajevima stuba jedne etaže
- Za dimenzionisanje je potrebno odrediti realno moguće najnepovoljnije kombinacije opterećenja
 - Najčešće su to kombinacije u kojima jedan statički uticaj dostiže svoju ekstremnu vrednost
 - Grede se dimenzionišu za kombinacije uticaja koje daju najveće momente savijanja i transferzalne sile
 - Stubovi se dimenzionišu za kombinacije uticaja koje daju najveće normalne sile

1.5. Armiranje čvorova rama

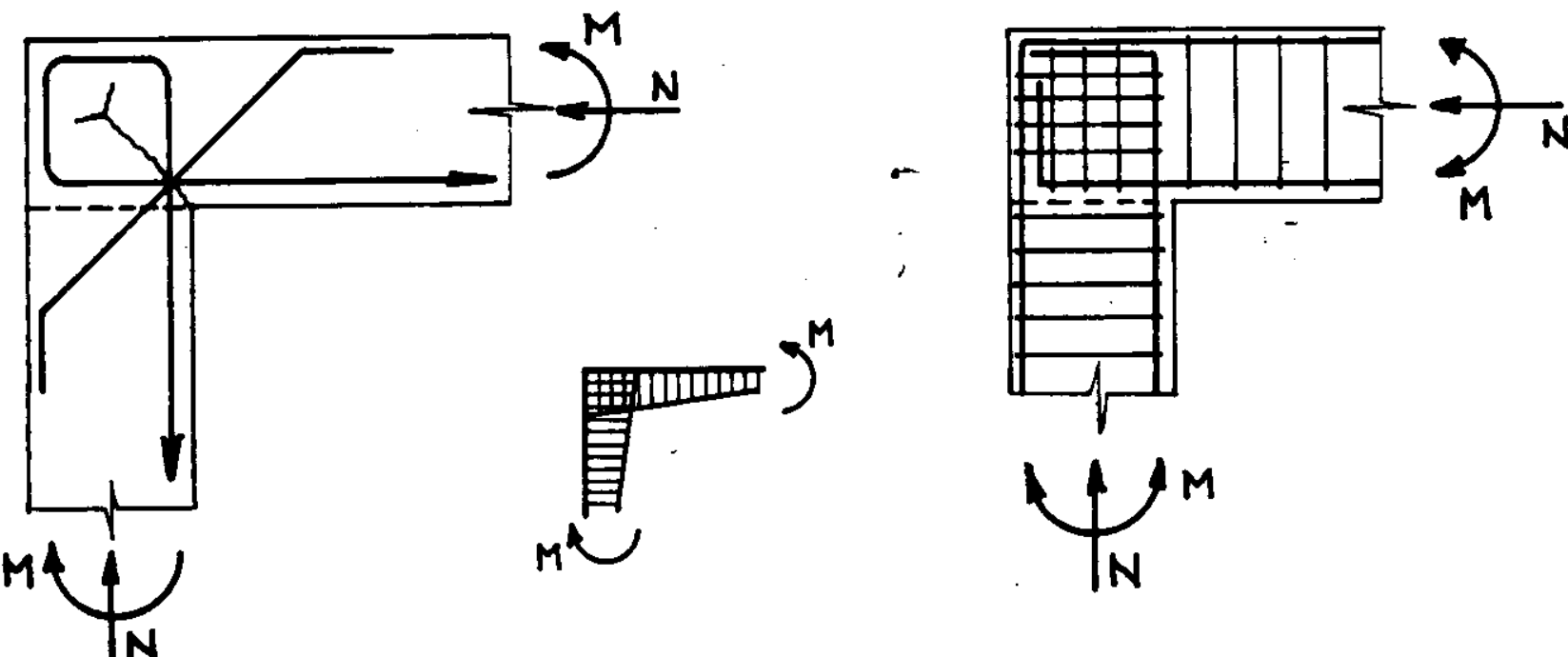
- Čvor rama mora da omogući prenošenje statičkih uticaja M , N , T između ta dva elementa



Armiranje čvora na poslednjoj etaži

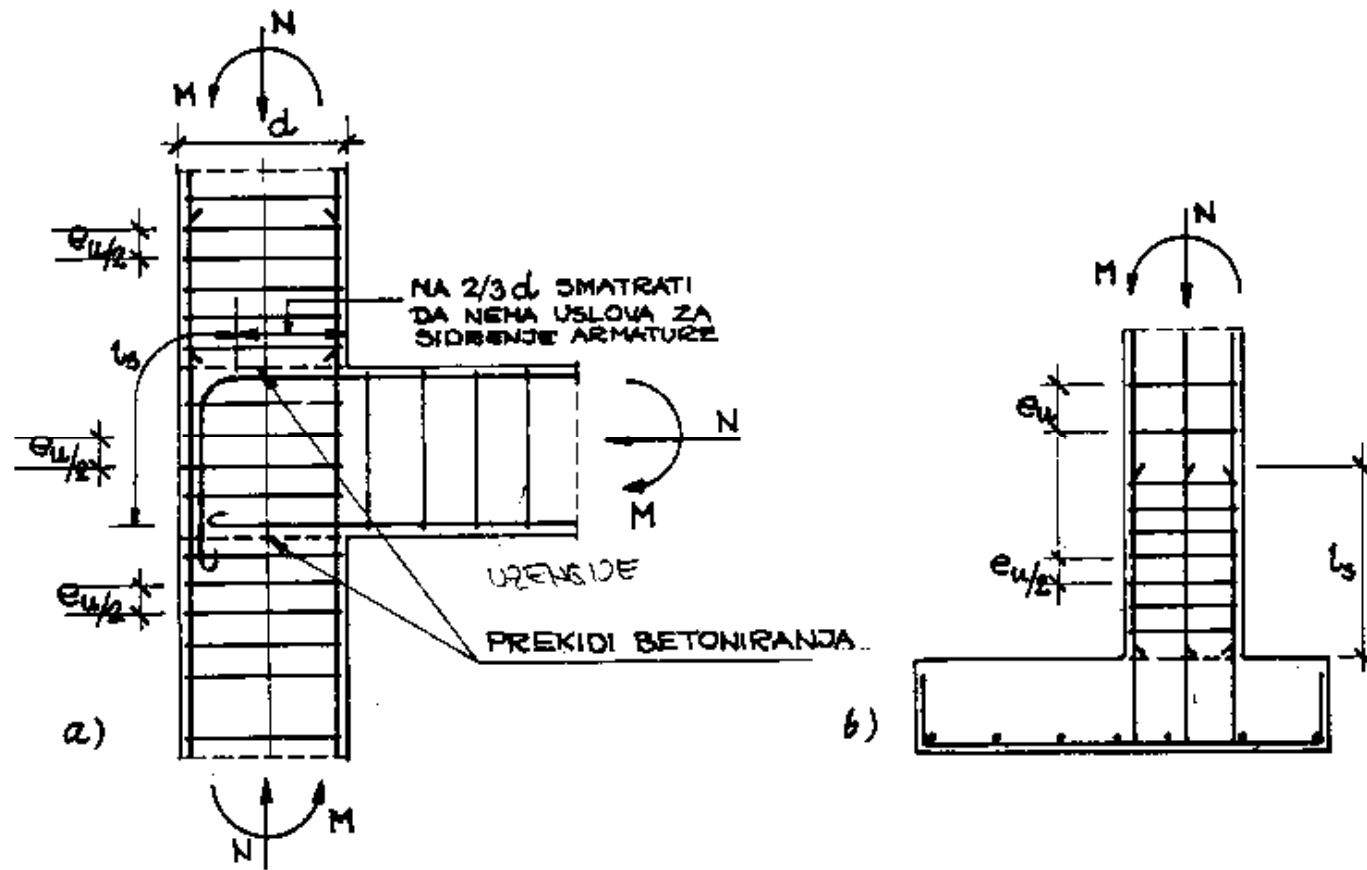
1.5. Armiranje čvorova rama

- U slučaju alternativnog dejstva momenata savijanja, formiranje petlje je najbolje rešenje povijanja armature
- Prekidi betoniranja su prikazani ispredidanim linijama



1.5. Armiranje čvorova rama

- Na slici je prikazan detalj armiranja čvora u kome su vezani stub i greda na nižim etažama i uklještenje stuba u temelj



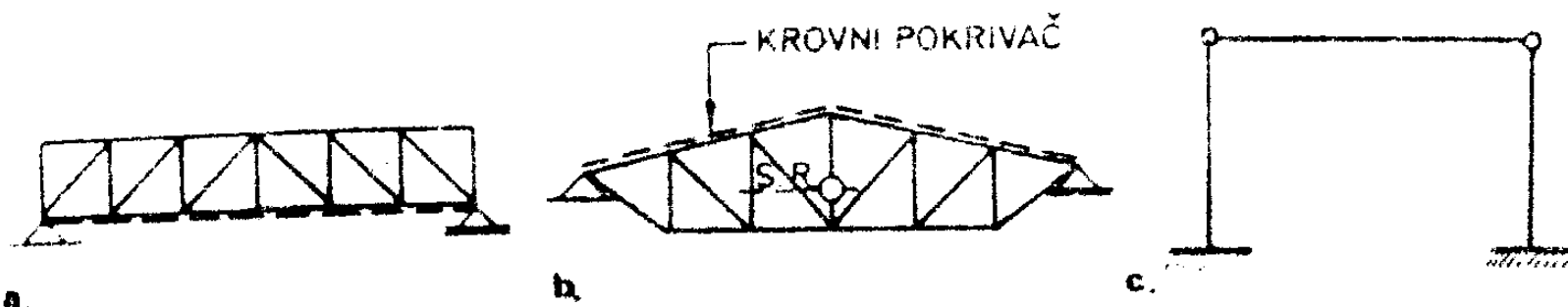
1.6. Glavni nosači

- Za raspone veće od 20m dimenzijske elemenata armiranobetonskih ramova postaju isuviše velike
- Danas se sve više pribegava montažnom načinu građenja
- Često se koristi ramovski sistem kod koga su stubovi uklješteni u temelje, a u poprečnom pravcu, u nivou krova, se radi nosač zglobno oslonjen na stubove
- Takav nosač se naziva **glavni nosač** i na njega se oslanjaju montažni **sekundarni nosači** koji nose krovni pokrivač
- **Glavni nosači mogu biti:**
 - puni nosači (prethodno napregnuti)
 - rešetkasti nosači (nosači sa zategom)

1.6. Glavni nosači

- Rešetkasti glavni nosači
 - Prednost: smanjenje sopstvene težine, mali utrošak armature, manja deformabilnost nosača
 - Mane: komplikovana izrada oplate, veliki gubitak prostora zbog velike visine nosača
 - Koriste se za raspone od 15 do 30 metara
 - Visina rešetke se obično usvaja kao

$$H = \frac{l}{10} \div \frac{l}{8}$$

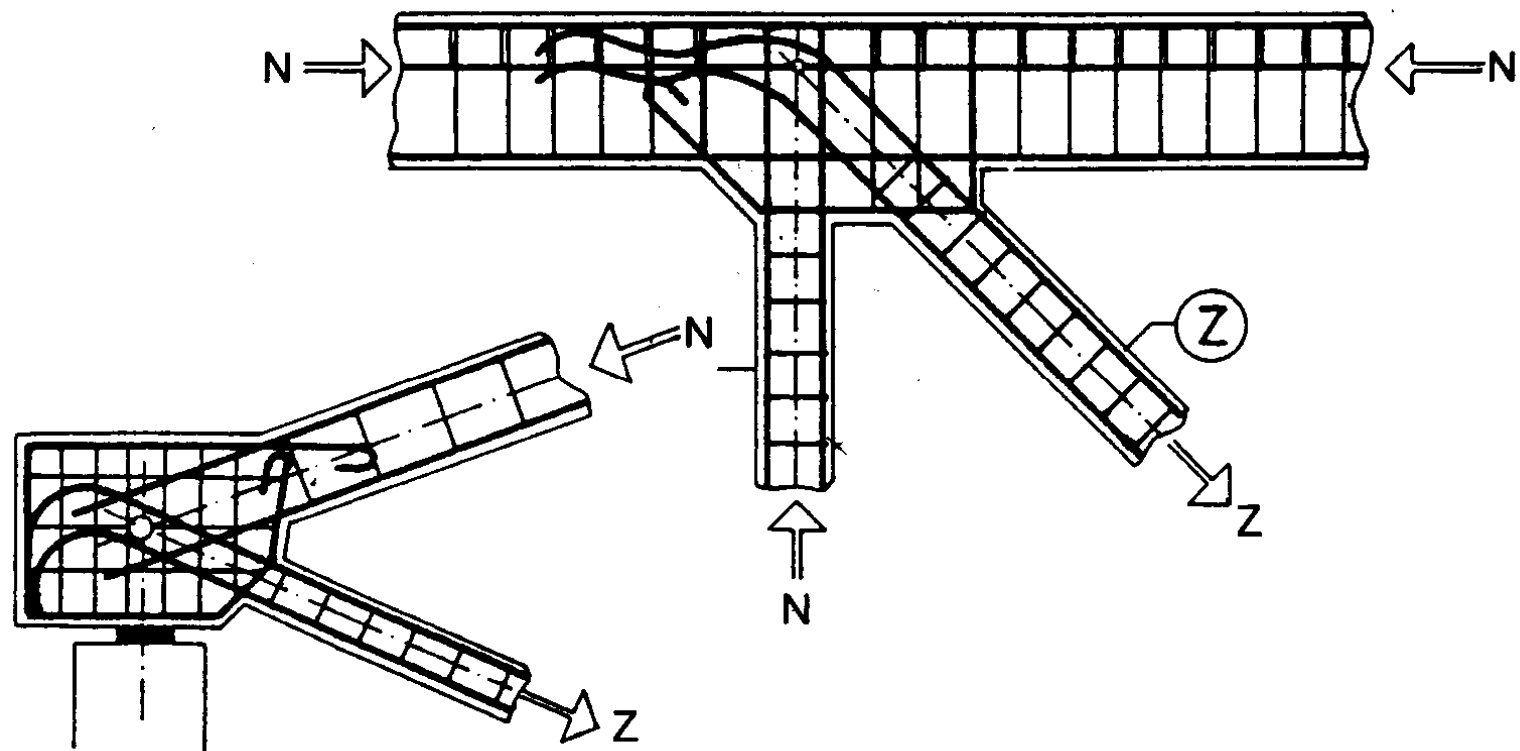


1.6. Glavni nosači

- Rešetkasti glavni nosači
 - Sistemne linije štapova treba da se seku u jednoj tački
 - Štapovi su opterećeni aksijalnim silama pritiska ili zatezanja
 - Javljuju se i sekundarni momenti savijanja u štapovima, koji se smanjuju biranjem poprečnih preseka štapova manjih momenata inercije
 - Treba težiti da se sekundarni krovni nosači oslanjaju na mestu čvorova rešetke
 - Rešetka se betonira u oplati najčešće u horizontalnom položaju

1.6. Glavni nosači

- Rešetkasti glavni nosači
 - Detalji armiranja:



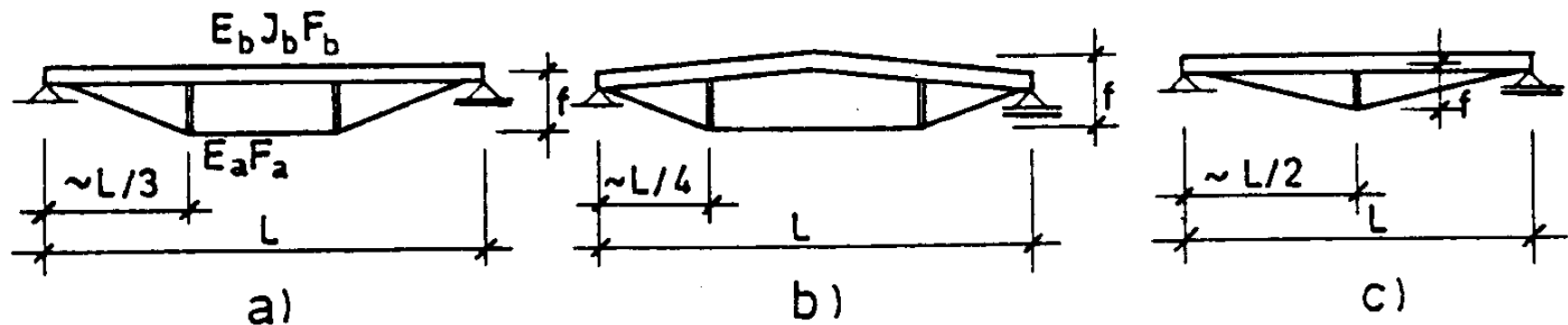
1.6. Glavni nosači

- Rešetkasti glavni nosači
 - Detalji armiranja:
 - Armatura zategnutih dijagonala mora biti dobro usidrena u pojasne štapove
 - U oslonačkom čvoru treba voditi računa o sidrenju armature donjeg pojasa
 - Oslonački čvor treba armirati tanjom armaturom u obliku kaveza

1.6. Glavni nosači

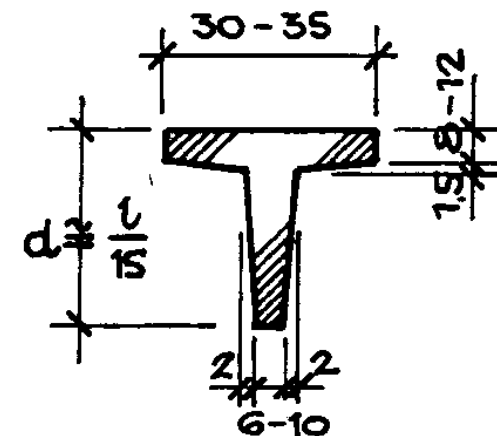
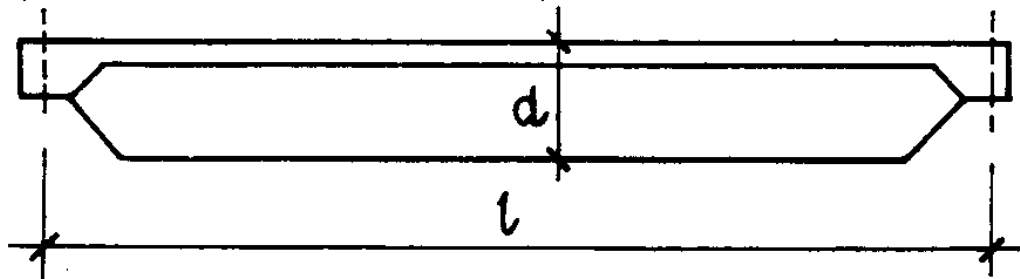
- Nosači sa zategom
 - Prednosti: laka montaža, manja sopstvena težina
 - Kombinacija grede i zatege
 - Koriste se za raspone do 30 metara
 - Vertikale se postavljaju obično u trećinama raspona
 - Visina ovih nosača je okvirno

$$h = \frac{l}{10}$$



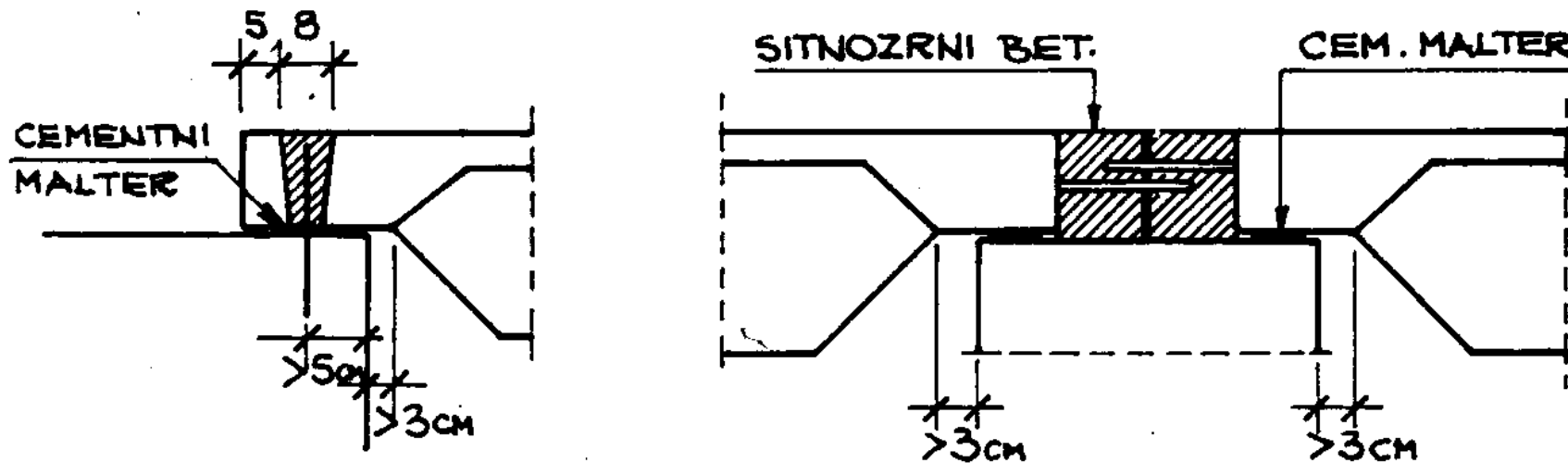
1.7. Rožnjače

- Grede oslonjene na glavne nosače koje nose krovni pokrivač
- Raspona su do 10 metara, poprečnog presekeka oblika T, ali u blizini oslonca prelaze u pravougaoni presek manje visine
- Za veće raspone od 10 metara mogu se raditi i u varijanti adhezionog prethodnog naprezanja



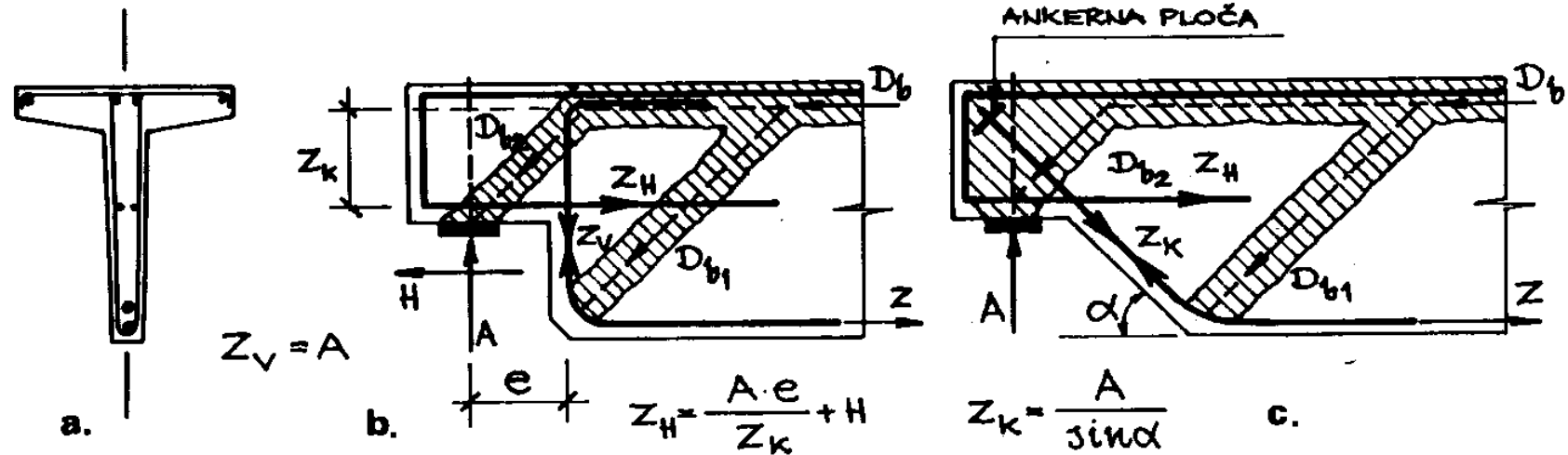
1.7. Rožnjače

- Na krajevima rožnjače se ostavlja jedan ili dva otvora kroz koje prolaze bolcnovi ispušteni iz glavnog nosača
- Zalivanjem otvora cementnim malterom ostvaruje se veza koja prenosi horizontalne sile



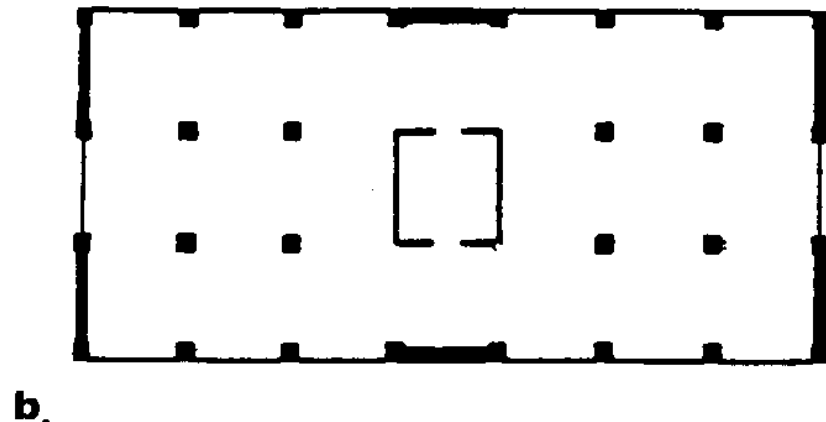
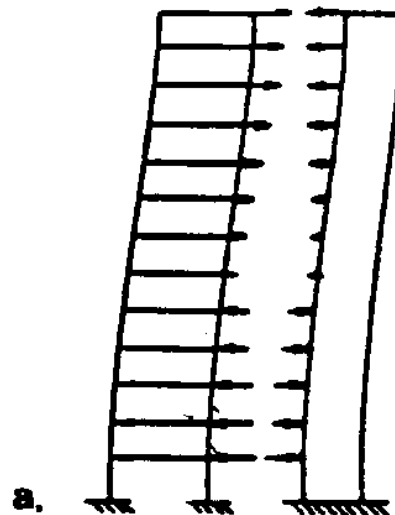
1.7. Rožnjače

- Na slici je prikazan princip armiranja rožnjače u području oslonaca i izrazi za proračun sile zatezanja u armaturi
- Naročito je bitno dobro usidriti zategnutu armaturu
- Posebnu pažnju treba posvetiti proračunu i oblikovanju armature za prijem glavnih napona zatezanja



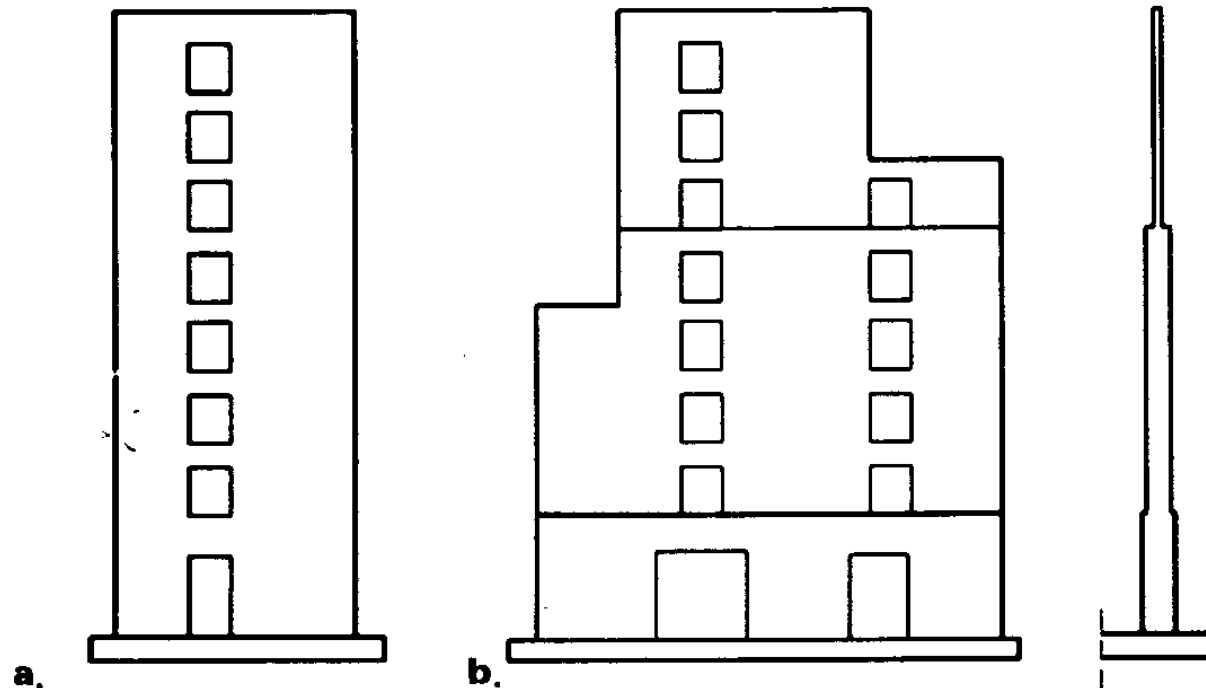
1.8. Objekti sa armiranobetonskim zidovima

- Ramovske konstrukcije se često kombinuju sa armiranobetonskim zidovima koji znatno povećavaju krutost objekta
- Najveća dozvoljena horizontalna pomeranja takvih konstrukcija su $H/1000$ za delovanje veta, odnosno $H/600$ za delovanje seizmičkih sila, pri čemu je H ukupna visina objekta
- Raspored zidova u osnovi treba da je simetričan i ravnomeren



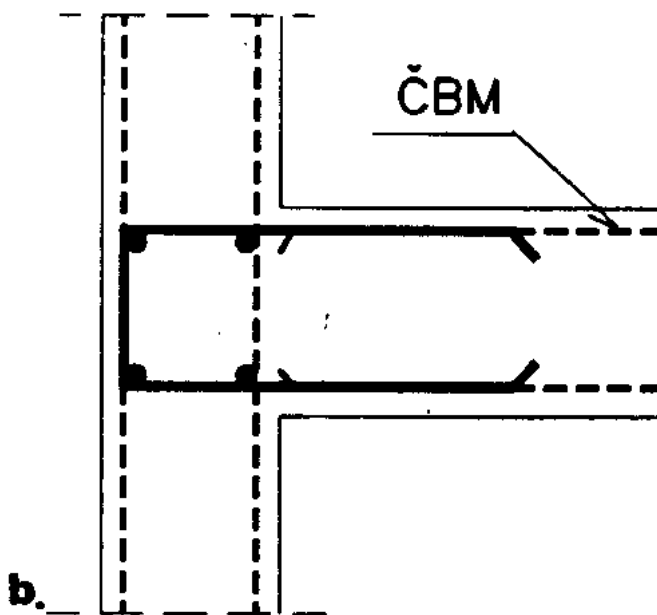
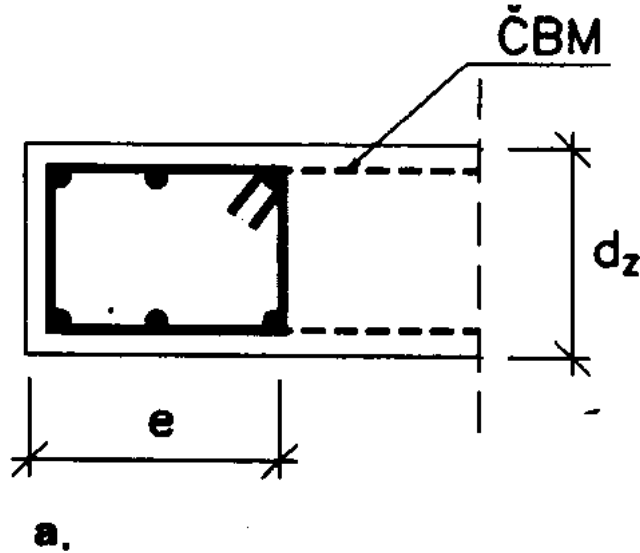
1.8. Objekti sa armiranobetonskim zidovima

- Armiranobetonski zidovi se javljaju po celoj visini objekta
- Fundiraju se na trakastim temeljima
- Debljina zidova je od 15 do 30 cm



1.8. Objekti sa armiranobetonskim zidovima

- Za gravitaciona opterećenja, zidovi se dimenzionišu kao pravougaoni centrično pritisnuti elementi širine 1 metra
- Armiraju se vertikalnom i horizontalnom armaturom, a na krajevima zidova na dužini $e \leq 2d_z$ formira se ojačanje od profila prečnika 12 mm ili većeg

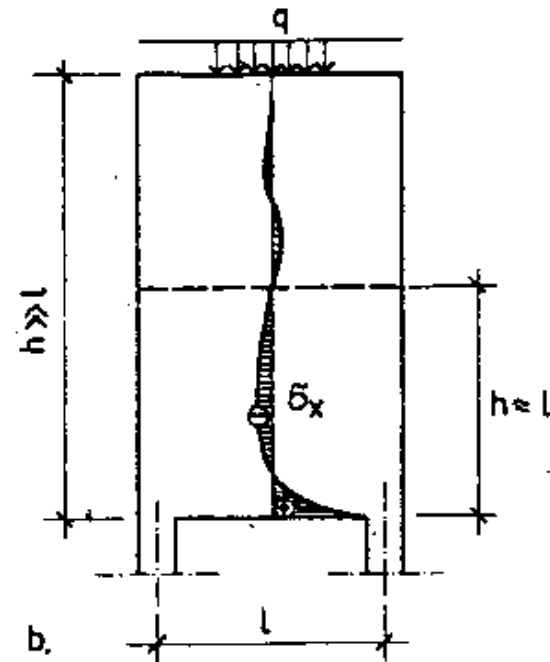
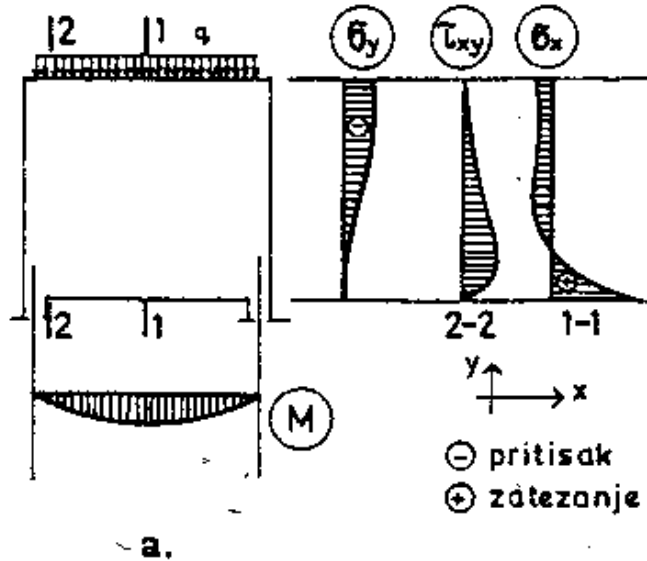


1.8. Objekti sa armiranobetonskim zidovima

- Od gravitacionog opterećenja naponi u zidovima obično nisu iskorišćeni, pa je dovoljna minimalna vertikalna armatura koja se raspoređuje simetrično na oba lica zida
- U horizontalnom pravcu, zidovi se armiraju simetričnom horizontalnom armaturom koja obuhvata vertikalnu armaturu
- Za dejstvo horizontalnog opterećenja zidovi se dimenzionišu prema istovremenim uticajima od normalnih sila i momenata savijanja koji imaju alternativni znak
- Dimenzionisanje se vrći za pravougaoni presek dimenzija $l_z \times d_z$ pri čemu je d_z debљina zida, a l_z dužina zida
- Zid se armira simetrično, grupisanjem armature na krajevima zida

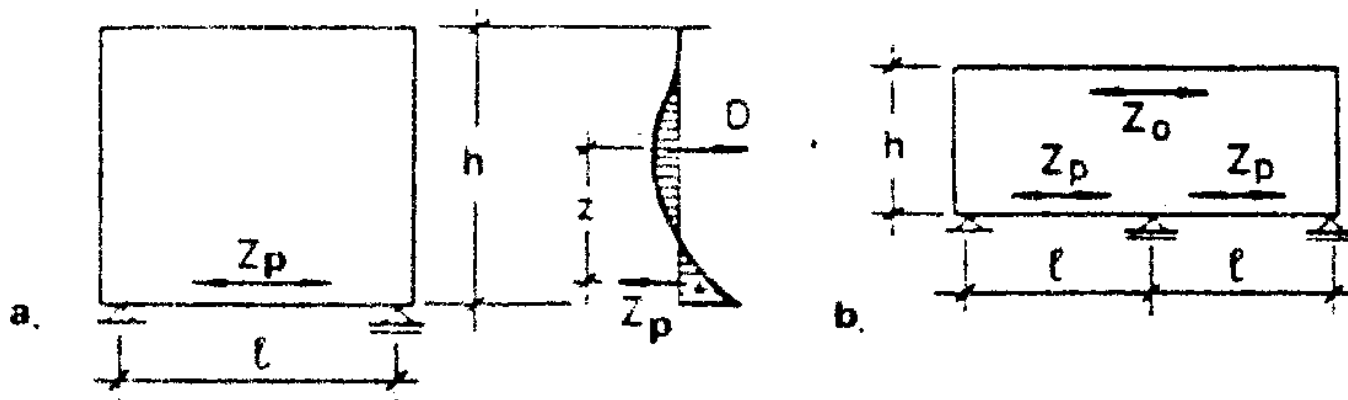
1.9. Armiranobetonski zidni nosači

- Armiranobetonski zidni nosači su površinski nosači opterećeni u svojoj ravni, za koje važi odnos $h/l \geq 0.50$, gde je h označena visina, a l raspon zidnog nosača
- Kada ovaj uslov nije ispunjen nosači se tretiraju kao linijski – gredni nosači



1.9. Armiranobetonski zidni nosači

- Armiranobetonski zidni nosači mogu biti statičkog sistema proste grede ili kontinualnih zidnih nosača



- Ukupna granična sila zatezanja poverava se glavnoj armaturi koja se dobija iz izraza:

$$A_a = \frac{Z_{au}}{\sigma_v} = \frac{M_u}{z\sigma_v}$$

- M_u je granična vrednost momenta savijanja u karakterističnim presecima, a z je krak unutrašnjih sila u istom preseku

1.9. Armiranobetonski zidni nosači

- Zidni nosači sistema proste grede:

$$z_p = 0.3h \left(3 - \frac{h}{l} \right) \text{ za } 0.5 \leq \frac{h}{l} \leq 1.0$$

$$z_p = 0.6l \text{ za } h \geq l$$

- Kontinualni zidni nosači:

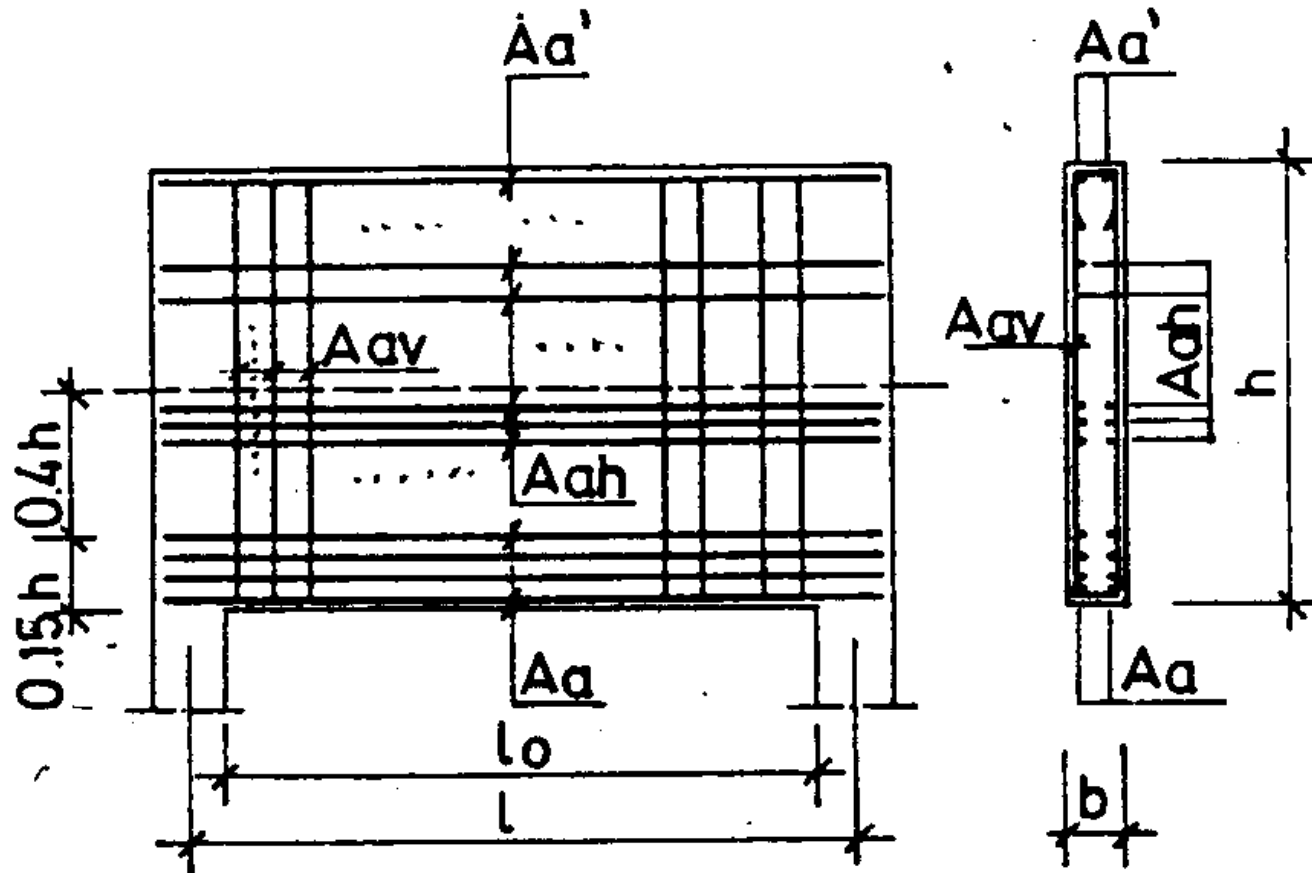
$$z_p = 0.5h \left(1.8 - \frac{h}{l} \right) \text{ za } 0.5 \leq \frac{h}{l} \leq 1.0$$

$$z_p = 0.4l \text{ za } h \geq l$$

- Glavna armatura se raspoređuje na visini od 0.15h od donje ivice
- Ako je $h > l$ armatura se raspoređuje u zoni visine 0.15l mereno od donej ivice nosača

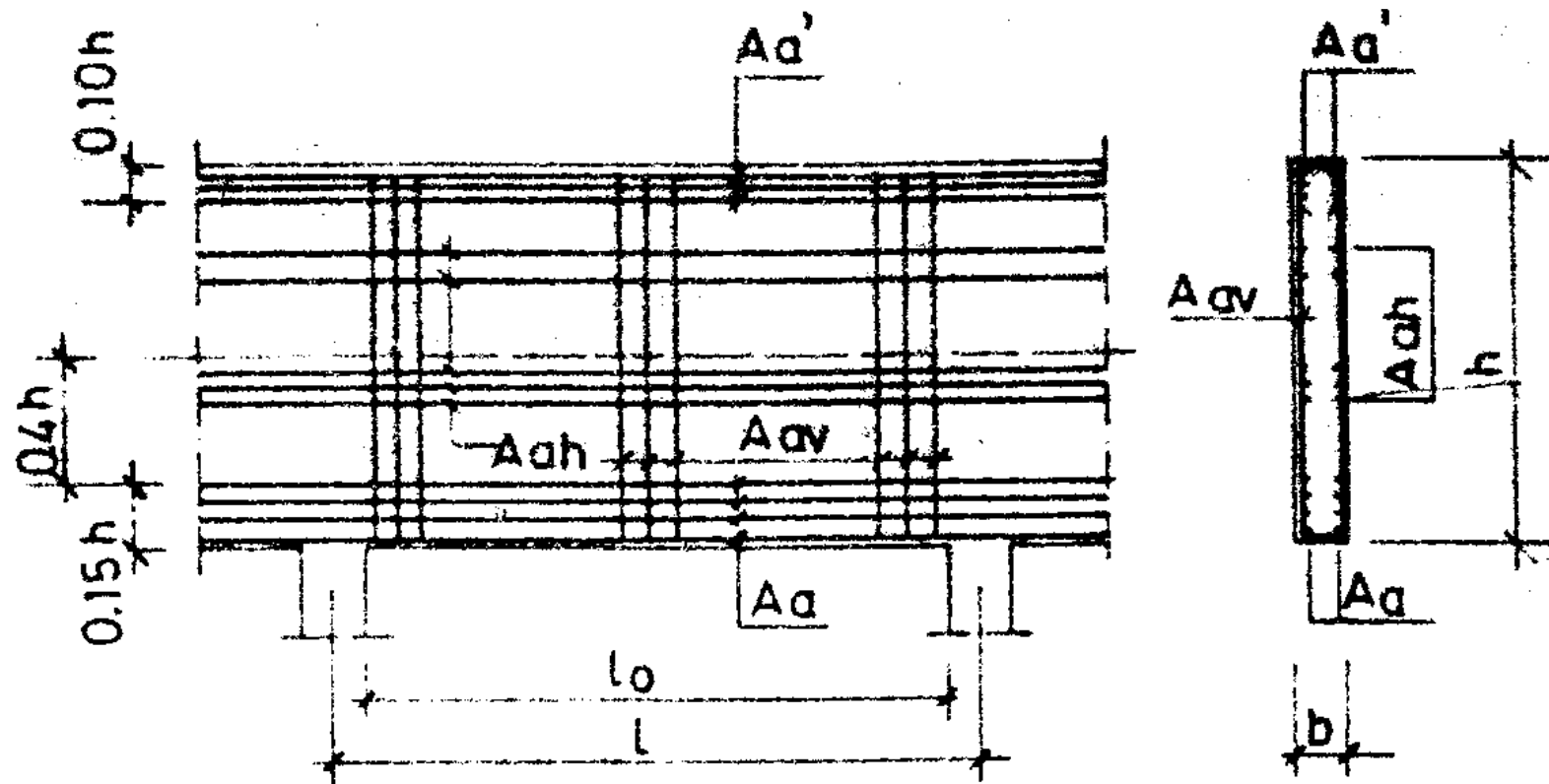
1.9. Armiranobetonski zidni nosači

- Armatura proste grede:



1.9. Armiranobetonski zidni nosači

- Armatura kontinualne grede:



1.9. Armiranobetonski zidni nosači

- Minimalna količina glavne armature:

$$A_{a,min} = 0.20bh \frac{f_{bzm}}{\sigma_v}$$

- f_{bzm} – srednja vrednost čvrstoće betona pri aksijalnom zatezanju
- b – debljina zidnog nosača
- Za $h > l$ u izraz treba uneti umesto visine h raspon l

1.9. Armiranobetonski zidni nosači

- Pored glavne armature zidni nosači se armiraju i horizontalnom i vertikalnom armaturom koja se raspoređuje ortogonalno sa obe strane zida:

$$A_{ah} = 0.8 \frac{T_u}{\sigma_v} \quad A_{av} = \frac{T_u}{\sigma_v}$$

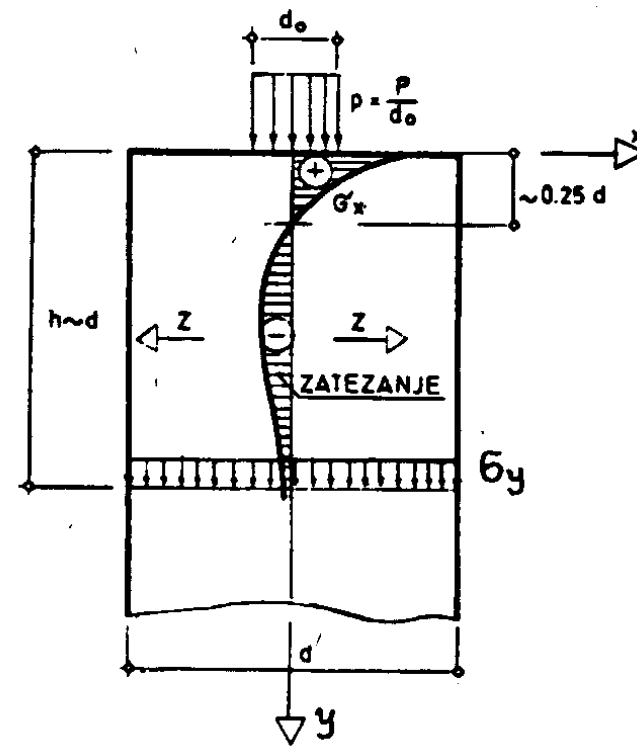
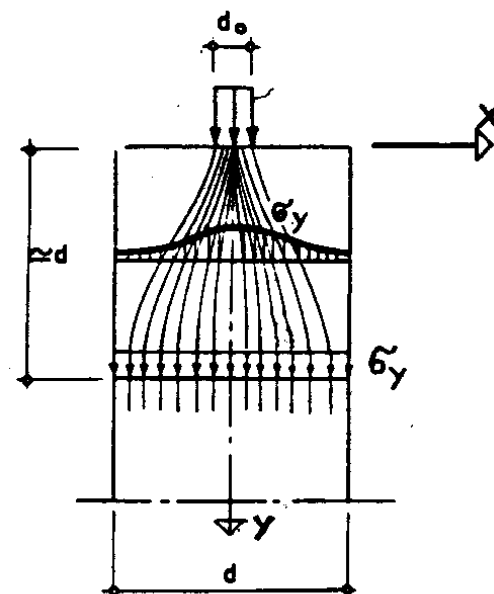
- Minimalni procenti armiranja ukupnom horizontalnom i vertikalnom armaturom odnose se na pravougaoni presek $b \times h$, odnosno $b \times l$ ako je $h>l$ i iznose:

0.3% GA

0.2% RA

1.10. Lokalni naponi pritiska

- Kada se na armiranobetonski element prenosi sila pritiska preko male površine $b_o \times d_o$, javljaju se unutar elementa, u jednom užem području, znatni naponi pritiska u pravcu delovanja sile i naponi zatezanja upravno na pravac delovanja sile



1.10. Lokalni naponi pritiska

- Ukupnu silu zatezanja možemo približno odrediti iz izraza:

$$Z = 0.3P \left(1 - \frac{d_o}{d} \right) \quad Z_u = 0.3P_u \left(1 - \frac{d_o}{d} \right)$$

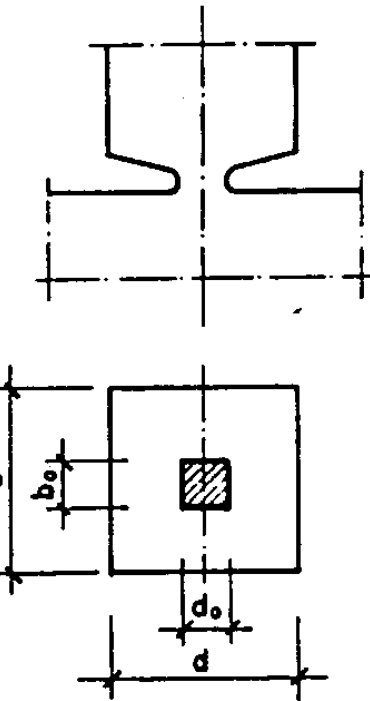
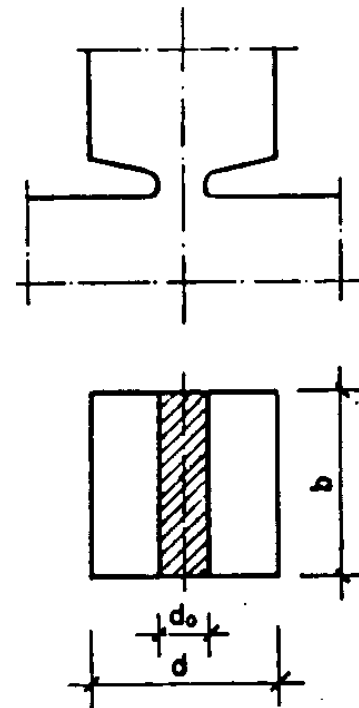
- Dopušteni lokalni naponi pritiska σ_0 ne smeju prekoračiti vrednosti date izrazom:

$$\sigma_0 = \sigma_s \sqrt{\frac{A_{b1}}{A_{bo}}} \leq 0.75 f_{bk} \quad \sigma = f_B \sqrt{\frac{A_{b1}}{A_{bo}}} \leq 1.6 f_{bk}$$

- σ_s - dopušteni srednji napon u betonu, definisan Pravilnikom,
- A_{bo} – lokalno opterećena površina,
- A_{bi} – površina sa istom težinom kao i Abo

1.10. Zglobovi

- Kontrola lokalnih napona pritiska se vrši kod zglobova ramovskih konstrukcija i ležišta mostova
- Redukcijom poprečnog preseka se omogućava prenošenje samo normalnih i transferzalnih sila



1.10. Zglobovi

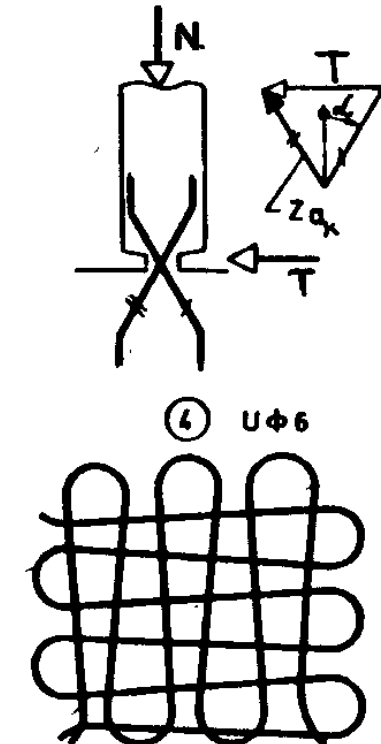
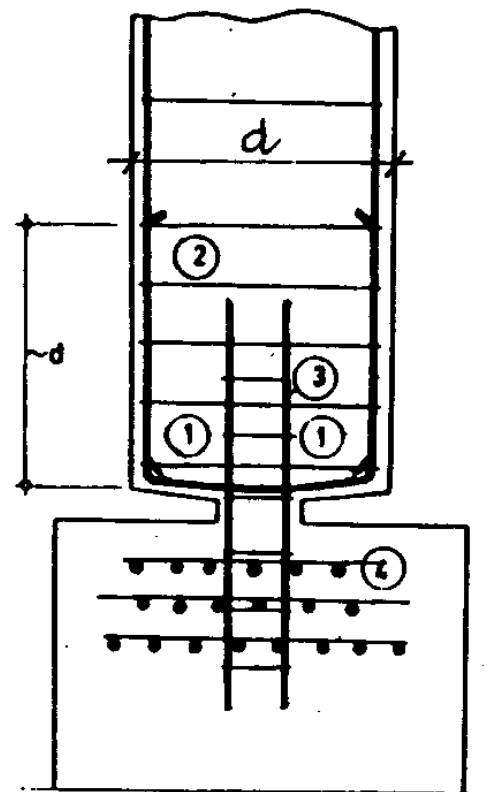
- Za prihvatanje sile cepanja u temeljima, postavlja se armatura u obliku češljeva

$$A_s = 0.3 \frac{N_u}{\sigma_v} \left(1 - \frac{d_0}{d} \right)$$

$$A_T = 0.3 \frac{N_u}{\sigma_v} \left(1 - \frac{d_0}{d_T} \right)$$

$$A_V = (0.8 \div 1.0) \% b_0 d_0$$

$(\phi 8 \div \phi 10)$



1.10. Zglobovi

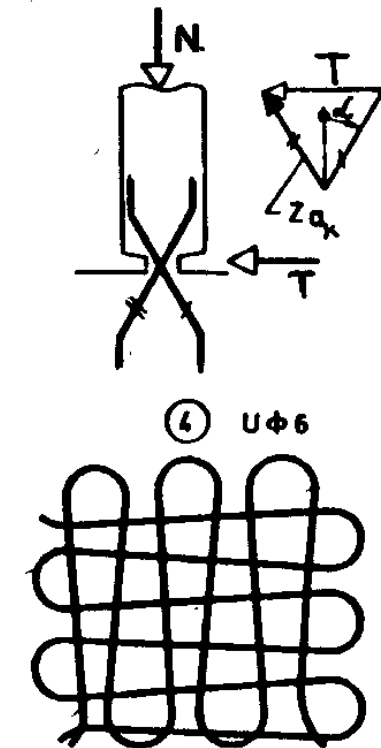
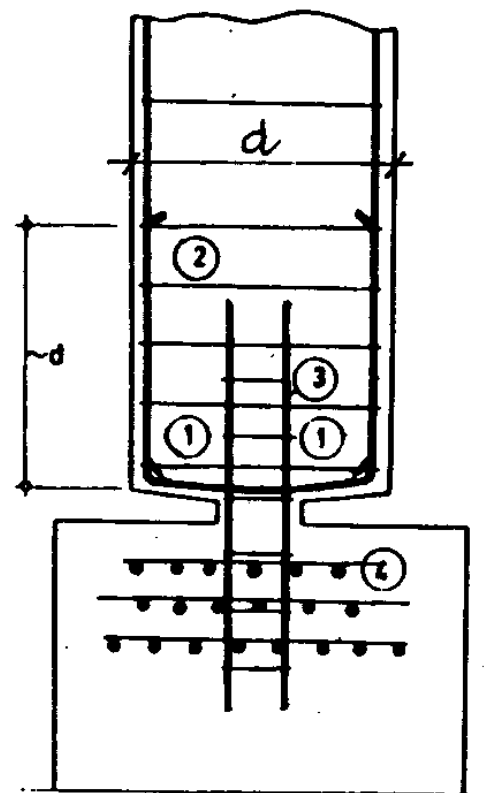
- Za prihvatanje sile cepanja u temeljima, postavlja se armatura u obliku češljeva

$$A_s = 0.3 \frac{N_u}{\sigma_v} \left(1 - \frac{d_0}{d} \right)$$

$$A_T = 0.3 \frac{N_u}{\sigma_v} \left(1 - \frac{d_0}{d_T} \right)$$

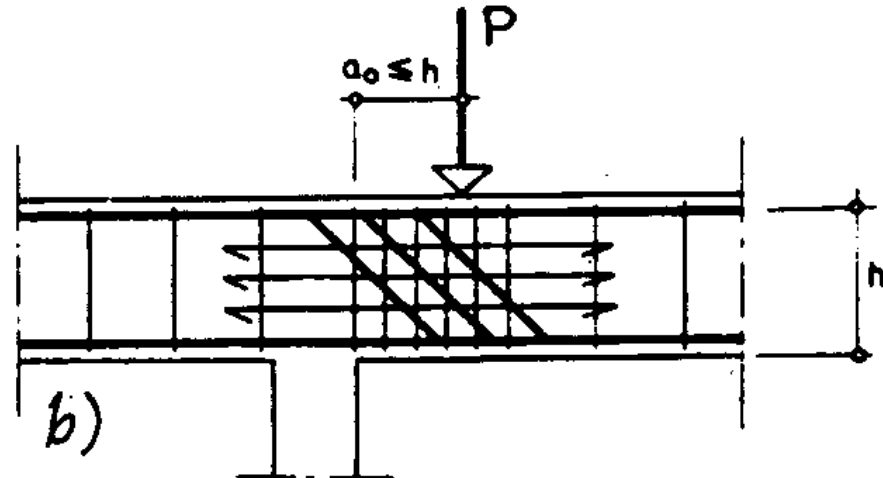
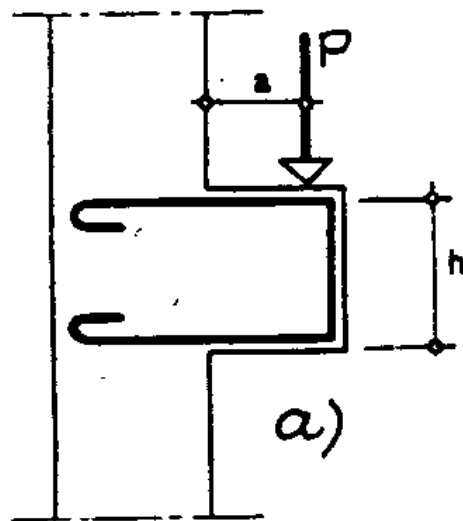
$$A_V = (0.8 \div 1.0) \% b_0 d_0$$

$(\phi 8 \div \phi 10)$



1.11. Kratki elementi

- Elementi kod kojih je krak sila od mesta uklještenja a manji ili jednak statičkoj visini h
- Opterećeni su koncentrisanim silama koje potiču od drugih elemenata konstrukcije ili od opreme
- Opterećeni su momentima savijanja i transferzalnim silama



1.11. Kratki elementi

- Potrebna površina armature za prihvatanje momenata savijanja u preseku u uklještenju određuje se iz izraza:

$$A_a = \frac{M}{z\sigma_a} \approx \frac{P_a}{0.85h\sigma_a}$$

- Površina potrebne kose armature za prihvatanje glavnih naponi zatezanja, u slučaju da je armatura postavljena pod uglom od 45° , određuje se izrazom:

$$A_a = \frac{P}{\sigma_a \sqrt{2}}$$

- Potrebna površina horizontalne armature za prihvatanje glavnih naponi zatezanja se određuje iz izraza:

$$A_a = \frac{P}{\sigma_a}$$

1.11. Kratki elementi

- Armiranje kratkih elemenata je prikazano na slici

